

اللهم اغفر لي



دانشکده مکانیک و مکاترونیک

گروه مکاترونیک

پایان نامه کارشناسی ارشد

بهبود روش ماتریس انتقال جهت کنترل برخط بازوی انعطاف پذیر ربات

نگارنده: مهدی غلامپور

استاد راهنما:

دکتر مهدی بامداد

شهریور ۱۳۹۷

شماره: ۱۳۱ / ۲۹۷ / ۱۵
تاریخ: ۱۴ / ۷ / ۹۷

باسمه تعالی



مدیریت تحصیلات تکمیلی

فرم شماره (۳) صورتجلسه نهایی دفاع از پایان نامه دوره کارشناسی ارشد

با نام و یاد خداوند متعال، ارزیابی جلسه دفاع از پایان نامه کارشناسی ارشد آقای مهدی غلامپور با شماره دانشجویی ۹۳۱۲۶۶۴ رشته مهندسی مکانیک گرایش مکترونیک تحت عنوان بهبود روش ماتریس انتقال جهت کنترل برخط بازوی انعطاف پذیر ربات که در تاریخ ۹۷/۰۶/۲۰ با حضور هیأت محترم داوران در دانشگاه صنعتی شاهرود برگزار گردید به شرح ذیل اعلام می گردد:

قبول (با امتیاز ... ۷۰٪ درجه ... بی نظیر ...)

مردود

نوع تحقیق: نظری عملی

عضو هیأت داوران	نام و نام خانوادگی	مرتبه علمی	امضاء
۱- استاد راهنمای اول	دکتر مهدی بامداد	استادیار	
۲- استاد راهنمای دوم	-	-	-
۳- استاد مشاور	-	-	-
۴- نماینده تحصیلات تکمیلی	دکتر حبیب احمدی	استادیار	
۵- استاد ممتحن اول	دکتر مجتبی واردی کولایی	استادیار	
۶- استاد ممتحن دوم	دکتر مصطفی نظری	استادیار	

نام و نام خانوادگی رئیس دانشکده: دکتر محمد محسن شاه مردان

تاریخ و امضاء و مهر دانشکده:

تبصره: در صورتی که کسی مردود شود حداکثر یکبار دیگر (در مدت مجاز تحصیل) می تواند از پایان نامه خود دفاع نماید (دفاع مجدد نباید زودتر از ۴ ماه برگزار شود).



تشکر و قدردانی

از همه کسانی که در راه علم آموزی من کوشیدند.

تعهد نامه

اینجانب مهدی غلامپور دانشجوی دوره کارشناسی ارشد رشته مکترونیک دانشکده مکانیک دانشگاه صنعتی شاهرود نویسنده پایان نامه با عنوان بهبود روش ماتریس انتقال در کنترل برخط بازوی منعطف ربات تحت راهنمایی دکتر مهدی بامداد متعهد می شوم:

- تحقیقات در این پایان نامه توسط اینجانب انجام شده است و از صحت و اصالت برخوردار است .
- در استفاده از نتایج پژوهشهای محققان دیگر به مرجع مورد استفاده استناد شده است .
- مطالب مندرج در پایان نامه تاکنون توسط خود یا فرد دیگری برای دریافت هیچ نوع مدرک یا امتیازی در هیچ جا ارائه نشده است .
- کلیه حقوق معنوی این اثر متعلق به دانشگاه صنعتی شاهرود می باشد و مقالات مستخرج با نام « دانشگاه صنعتی شاهرود » و یا « Shahrood University of Technology » به چاپ خواهد رسید .
- حقوق معنوی تمام افرادی که در به دست آمدن نتایج اصلی پایان نامه تأثیرگذار بوده اند در مقالات مستخرج از پایان نامه رعایت می گردد.
- در کلیه مراحل انجام این پایان نامه ، در مواردی که از موجود زنده (یا بافتهای آنها) استفاده شده است ضوابط و اصول اخلاقی رعایت شده است .
- در کلیه مراحل انجام این پایان نامه، در مواردی که به حوزه اطلاعات شخصی افراد دسترسی یافته یا استفاده شده است اصل رازداری ، ضوابط و اصول اخلاق انسانی رعایت شده است .

تاریخ

امضای دانشجو

مالکیت نتایج و حق نشر

کلیه حقوق معنوی این اثر و محصولات آن (مقالات مستخرج ، کتاب ، برنامه های رایانه ای ، نرم افزار ها و تجهیزات ساخته شده است) متعلق به دانشگاه صنعتی شاهرود می باشد . این مطلب باید به نحو مقتضی در تولیدات علمی مربوطه ذکر شود . استفاده از اطلاعات و نتایج موجود در پایان نامه بدون ذکر مرجع مجاز نمی باشد.

چکیده

در گستره‌ی امروزی بکارگیری ربات‌ها، بررسی ارتعاشات بازوهای منعطف بکاررفته در این ربات‌ها به‌منظور کنترل برخط آنها اهمیت یافته‌اند. سیستم دینامیکی انعطاف‌پذیر پیشنهادی برای مدل‌سازی شامل یک تیر است که در تکیه‌گاه خود به یک موتور الکتریکی متصل است. با روشن‌نمودن موتور، تیر شروع به دوران نموده و به‌موجب آغاز ناگهانی شتاب‌دار حرکت، در آن ارتعاش ایجاد می‌گردد. از آنجا که روش‌های اجزا محدود غیرخطی و روش‌های عددی مستلزم بالا رفتن حجم محاسبات و کند شدن روند کنترل بازوی ربات می‌گردند، در این پایان‌نامه به معرفی روش ماتریس انتقال در راستای کنترل بازوی ربات پرداخته شده است. با فرض منعطف بودن تیر، سیستم به تعدادی لینک صلب با قابلیت دوران در حد فاصل هر دو لینک شبیه‌سازی گردیده است. روش‌های هوبولت، فاکس - اویلر، نیومارک - بتا و ویلسون - تتا روش‌های کلاسیک و قدیمی در انتگرال‌گیری عددی هستند که به بررسی هر کدام پرداخته می‌شود. در این چهار روش کلاسیک برای خطی‌سازی مؤلفه‌های سرعت و شتاب و دیگر عبارات‌های غیرخطی از تقریب‌های متفاوتی استفاده شده است. روشی بهتر خواهد بود که باوجود کمتر بودن نسبی محاسبات، دقت قابل‌قبولی داشته باشد. در پایان روشی پیشنهادی ارائه گردیده است.

لغات کلیدی : بازوی انعطاف‌پذیر ربات، ماتریس انتقال، انتگرال‌گیری عددی

فهرست

۱	فصل اول : مقدمه
۲	۱-۱- مقدمه‌ای بر تیر انعطاف‌پذیر
۴	۲-۱- سابقه
۵	۳-۱- روش تحقیق
۶	۴-۱- اهداف تحقیق
۶	۵-۱- نوآوری
۷	فصل دوم : روش ماتریس انتقال
۸	۱-۲- بردار حالت
۸	۲-۲- آشنایی با ماتریس انتقال
۱۱	۳-۲- خطی سازی و روش‌های عددی
۲۷	فصل سوم : روش ماتریس انتقال گسسته
۲۸	۱-۳- روش ماتریس انتقال گسسته برای یک سیستم یک درجه آزادی
۳۴	۲-۳- انتگرال‌گیری عددی و روش‌ها
۳۴	۱-۲-۳- روش صریح
۳۵	۲-۲-۳- روش ضمنی
۳۶	۳-۳- روش‌های انتگرال‌گیری عددی در روش ماتریس انتقال گسسته
۳۶	۱-۳-۳- روش فاکس _ اوپلر [۱۲]
۳۹	۲-۳-۳- روش نیومارک بتا [۱۲]
۴۲	۳-۳-۳- روش ویلسون تتا [۱۲]
۴۴	۴-۳-۳- روش هوبولت [۱۲]
۴۷	۵-۳-۳- روش پیشنهادی [۱۳]
۵۱	فصل چهار : نتیجه گیری
۵۸	منابع

فهرست شکل‌ها

- شکل (۱-۲): تقسیم‌نمودن لینک به مجموعه‌ای از جرم و فنر..... ۸
- شکل (۲-۲): موقعیت مرکز جرم..... ۹
- شکل (۴-۲): سیستم یک درجه آزادی شامل جرم، فنر پیچشی و ممان اینرسی..... ۱۶
- شکل (۵-۲): شکل گسترش یافته‌ی سیستم یک درجه آزادی..... ۱۷
- شکل (۶-۲): یک سیستم دو درجه آزادی شامل جرم، فنر و دمپر با گشتاورهای خارجی..... ۲۰
- شکل (۷-۲): شکل گسترش یافته‌ی سیستم دو درجه آزادی..... ۲۰
- شکل (۱-۳): نمودار روش فاکس-اویلر..... ۳۸
- شکل (۲-۳): نمودار روش نیومارک بتا..... ۴۱
- شکل (۳-۳): تعریف شتاب در روش ویلسون تتا..... ۴۲
- شکل (۴-۳): نمودار روش ویلسون تتا..... ۴۴
- شکل (۵-۳): نمودار روش هوبولت..... ۴۶
- شکل (۶-۳): نمودار روش نوین..... ۵۰
- شکل (۱-۴): نمودار روش‌های کلاسیک در حالت دو درجه آزادی..... ۵۳
- شکل (۲-۴): نمودار روش نوین در حالت دو درجه آزادی..... ۵۴
- شکل (۳-۴): نمودارهای حالت ده درجه آزادی..... ۵۷

فهرست جدول‌ها

- جدول (۱-۳) : ضرایب روش فاکس اوپلر ۳۷
- جدول (۲-۳) : مقادیر اعمال شده در نمونه ۳۸
- جدول (۳-۳) : ضرایب روش نیومارک بتا ۴۰
- جدول (۴-۳) : ضرایب روش ویلسون تتا ۴۳
- جدول (۵-۳) : ضرایب روش هوبولت در $i=1$ ۴۵
- جدول (۶-۳) : ضرایب روش هوبولت در $i=2$ ۴۵
- جدول (۷-۳) : ضرایب روش هوبولت در $i \geq 3$ ۴۶
- جدول (۸-۳) : ضرایب روش پیشنهادی ۴۹
- نمودار این روش بدین ترتیب به دست می‌آید : ۵۰
- جدول (۱-۴) : مقادیر اعمال شده در نمونه آزمایشی ۵۴
- جدول (۲-۴) : زمان انجام محاسبات و نسبت آنها در حالت دو و ده درجه آزادی ۵۵

فصل اول : مقدمه

۱-۱- مقدمه‌ای بر تیر انعطاف‌پذیر

امروزه تیرهای انعطاف‌پذیر در بسیاری از سازه‌ها مانند بازوهای ربات کاربرد گسترده‌ای یافته و بررسی ارتعاشات این سازه‌ها و کنترل آنها اهمیت بالایی پیدا نموده‌اند. مدل‌سازی تیرها با دامنه‌ی تغییرشکل زیاد بطور معمول با روش‌های اجزاء محدود غیرخطی صورت می‌پذیرد. روش اجزاء محدود غیرخطی با وجود دقت بالا، حجم محاسبات را به شکل قابل توجهی افزایش می‌دهد. به موجب همین علت، استفاده از این روش در کنترل بلادرنگ ربات‌های انعطاف‌پذیر دشوار است. از طرفی در روش‌های عددی که جهت حل معادلات حرکت تیر با دامنه‌ی تغییر شکل زیاد مورد استفاده قرار می‌گیرند دقت، به نسبت شدیدی به تعداد و ابعاد گام زمانی در حل مسئله وابسته است. در روش‌های عددی با انتخاب دامنه‌ی به اندازه‌ی مناسب کوچک می‌توان پاسخ‌های قابل قبولی به دست آورد. با افزایش شمار گام‌ها، ابعاد ماتریس‌های موجود در روش‌های عددی نیز افزوده گردیده که این موضوع خود به افزایش حجم محاسبات می‌انجامد. در روش ماتریس انتقال^۱ تثبیت درجه ماتریس و انعطاف‌پذیری در مدل‌سازی، آن را بر روش اجزاء محدود برتری می‌دهد. از روش ماتریس انتقال در سیستم‌های با دینامیک دورانی، تحلیل زنجیره دنده‌ها و نیز سیستم‌های انشعابی و زنجیره‌ای استفاده می‌گردد. از سوی دیگر این روش تنها در مورد سیستم‌های خطی و برای تخمین فرکانس‌های طبیعی و تحلیل پاسخ حالت مانا با تحریک هارمونیک قابل اجرا است. در ادامه با بکارگیری روش ماتریس انتقال گسسته^۲، غیر از بهره‌گیری از مزیت‌های روش ماتریس انتقال کلاسیک می‌توان از محدودیت تعداد ورودی‌ها نیز رها گردید.

با ثابت بودن ابعاد ماتریس انتقال در روش گسسته، افزایش تعداد گام تأثیر محسوسی در حجم محاسبات نخواهد داشت.

1 _ Transfer Matrix Method

2 _ Discrete Time Transfer Matrix Method

بنابراین با بکارگیری از آن پاسخ تیر به ورودی‌های مختلف قابل محاسبه خواهد بود و می‌توان از آن به خوبی جهت کنترل بلادرنگ ربات‌های انعطاف‌پذیر استفاده نمود.

روش ماتریس انتقال گسسته در حالت کلی دارای دو منشأ خطا است:

۱. خطای ناشی از خطی‌سازی مؤلفه‌های شتاب و سرعت

۲. خطای حاصل از خطی‌سازی ترم‌های غیرخطی در معادلات

در این پایان‌نامه به مدل‌سازی تیر انعطاف‌پذیر با تغییر شکل زیاد پرداخته شده و سپس با تغییراتی در روش ماتریس انتقال در کاهش هرچه بیشتر خطا کوشش می‌شود. بنابراین در این پایان‌نامه دو فعالیت اصلی صورت می‌پذیرد؛ یک، بررسی روش‌های عددی مرسوم در روش ماتریس انتقال گسسته که عبارتند از چهار روش فاکس-اویلر^۳، ویلسون تتا^۴، نیومارک بتا^۵ و هوبولت^۶ که با بررسی این روش‌ها و معایب آنها به ارائه‌ی روشی نوین به منظور کاهش خطای ناشی از خطی‌سازی پرداخته می‌شود. مورد دوم، استفاده از تقریب‌های مناسب جهت خطی‌سازی ترم‌های غیرخطی در ماتریس انتقال است. از آنجا که در تیر با تغییر شکل زیاد ترم‌های غیرخطی سرعت و شتاب در پاسخ ظاهر می‌گردند، برای استفاده از روش ماتریس انتقال باید این ترم‌ها به گونه‌ای در هر گام زمانی خطی‌سازی گردند. در فعالیت دوم به بررسی روش‌های خطی‌سازی این ترم‌ها جهت افزایش دقت پرداخته خواهد شد.

3 _ Fox _ Euler
4 - Wilson θ

5 _ Newmark β
6 _ Hoboult

۱-۲- سابقه

کومار و سانکار ، اولین مقاله‌ی ماتریس انتقال با بعدزمانی گسسته را در سال ۱۹۸۵ ارائه نمودند [۱]. در سال ۱۹۸۵ دو تن از دانشمندان مقاله‌ای با عنوان " یک روش جدید از ماتریس انتقال برای تحلیل سیستم‌های دینامیکی بزرگ " منتشر کردند. در آن مقاله این دو با تعریف شتاب و سرعت اجزاء سیستم براساس مقدار جابجایی آنها، راهکاری به‌منظور خطی‌سازی معادلات که لازمه روش ماتریس انتقال است، ارائه نمودند. آنها در مقاله‌شان توضیح داده‌اند که با افزایش درجه آزادی در سیستم اندازه‌ی ماتریس‌ها نیز افزوده شده و به پیروی از آن محاسبات مربوط به آنها. در ادامه دکتر رایان کراوس در کار خود یک تیر دینامیکی را به اجزایی تقسیم کرد که بین هر یک از آنها یک فنر فرض شده است. او در ابتدا از سیستمی یک درجه آزادی شامل یک فنر و یک لینک استفاده نمود. ماتریس انتقال را برای فنر و لینک نوشت و پس از ضرب ماتریسی، بردار حالت انتهای لینک را به‌دست آورد. کراوس در سال ۲۰۰۶ رساله‌ی دکترای خود را به‌بررسی روش کنترلی سازه‌های انعطاف‌پذیر اختصاص داد [۲]. کراوس در سال ۲۰۱۱ یک مدل‌سازی کارآمد محاسباتی بر پایه‌ی روش ماتریس انتقال ارائه نمود [۳]. در ۲۰۱۳ کراوس و اوکاشا نتایج تحلیلی و تجربی کنترل یک ربات انعطاف‌پذیر را بررسی مقایسه‌ای نمودند. آنها به معرفی روش ماتریس انتقال و بکارگیری آن برای یک سیستم دو درجه آزادی جرم و فنر پرداختند و در ادامه روش ماتریس انتقال گسسته را شرح داده و برای یک لینک ساده دو درجه آزادی شامل دو فنر بکار می‌گیرند. نتایج تجربی را به کمک حسگر شتاب‌سنج سنجیده و با نتایج روش‌های خود مقایسه می‌نمایند [۴]. هورنر و پیلکی در ۱۹۷۸ روش ماتریس انتقال ریکاتی را به‌عنوان یک روش جدید برای تحلیل اعضای سازه‌ای ارائه کردند [۵].

روش ماتریس انتقال در سال‌های اخیر نیز جهت تحلیل پاسخ تیر با تغییر شکل زیاد، مورد کنکاش قرار گرفته است. بین هی و همکاران وی در سال ۲۰۰۷ روش ماتریس انتقال ریکاتی را به منظور شبیه‌سازی دینامیکی تیرالاستیک با تغییر شکل زیاد استفاده نمودند [۶]. در ادامه وانگ و همکاران او در سال ۲۰۱۲ از این روش برای مدل‌سازی و شبیه‌سازی کابل یک یدک‌کش زیرآبی بهره گرفتند [۷]. روش ماتریس انتقال گسسته، نیازمند به روش‌های عددی در انتگرال‌گیری است. بدین منظور هورنر و پیلکی از روش‌های فاکس_اویلر، ویلسون تتا، نیومارک بتا و هوبولت استفاده کرده و توانستند ضرایب ماتریس انتقال گسسته را ارائه نمایند [۵]. در سال‌های اخیر روش‌های انتگرال‌گیری جدیدتری ارائه شده است که می‌توان از آنها جهت استفاده در روش ماتریس انتقال گسسته بهره جست. زای و همکارانش با تغییراتی در روش نیومارک، به روشی جدید جهت تحلیل سیستم‌های خطی و غیرخطی دست‌یافتند [۸،۹]. زو روشی نسبتاً ساده ارائه نمود و نشان داد که روش فوق نسبت به روش نیومارک خطای دوره‌ای کمتری دارد [۱۰]. در ادامه رضایی و صفرزاده روش‌های انتگرال‌گیری ضمنی را ترکیب نموده، به روشی جدید نائل آمدند [۱۱]. روش ماتریس انتقال برای بررسی تغییر شکل زیاد در تیر، نیازمند خطی‌سازی پارامترهای مختلفی است. این خطی‌سازی در برخی موارد موجب افزایش چشمگیر خطا در نتایج می‌گردد.

۱-۳- روش تحقیق

- بررسی روش‌های مختلف انتگرال‌گیری عددی
- انتخاب روش‌های انتگرال‌گیری عددی مناسب جهت استفاده در روش ماتریس انتقال
- بررسی منشأ خطای خطی‌سازی در روش ماتریس انتقال
- انتخاب روش تقریبی مناسب برای خطی‌سازی ترم‌های غیرخطی ماتریس انتقال

۴-۱- اهداف تحقیق

- انتخاب روش‌های انتگرال‌گیری عددی مناسب جهت استفاده در روش ماتریس انتقال
- انتخاب تقریب مناسب جهت خطی‌سازی ترم‌های غیرخطی ماتریس انتقال

۵-۱- نوآوری

- ارائه‌ی روش عددی مناسب جهت خطی‌سازی ترم‌های غیرخطی ظاهرشده در اثر تغییرشکل بزرگ در روش ماتریس انتقال

فصل دوم : روش ماتریس انتقال

۲-۱- بردار حالت^۷

سیستم دو درجه آزادی ساده جرم و فنری را در نظر بگیرید. بردار حالت در یک نقطه از سیستم الاستیک یک بردارستونی شامل جابجایی و نیروی وارده می‌باشد. جابجایی باید در بالا و نیرو در پایین ستون قرار گیرد. برای مثال در مورد یک سیستم ساده‌ی جرم و فنر بردار حالت را می‌توان به شکل

نوشت یا در سیستم دارای یک محور بدون جرم و یک دیسک که با مقدار زاویه‌ی محور و مقدار گشتاور وارده توصیف می‌گردد، بردار حالت، $\begin{bmatrix} \Phi \\ T \end{bmatrix}$ خواهد بود.

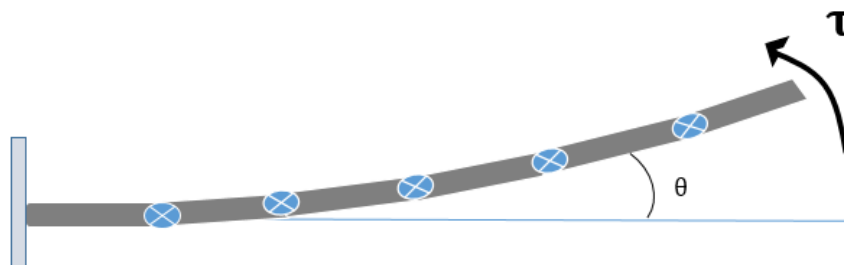
برای داشتن پاسخ صحیح‌تر در یک تیرمستقیم عوامل جابجایی انحراف، ω و شیب، ψ و نیز عوامل نیرو شامل مومنتوم M و نیروی برشی V در بردار حالت ظاهر می‌گردند. در نتیجه بردار حالت به شکل

$$\begin{bmatrix} \omega \\ \psi \\ M \\ V \end{bmatrix}$$

در می‌آید.

۲-۲- آشنایی با ماتریس انتقال

در دسته‌ی گسترده‌ای از سیستم‌های مکانیکی معمول، پس از تعیین بردارهای حالت، روش ماتریس انتقال قابل پیاده‌سازی است. در این روش، سیستم مکانیکی مانند تیری به شکل زیر، به تعدادی المان که هر کدام لینک صلب در نظر گرفته می‌شوند با اتصال فنری پیچشی، تقسیم می‌گردد:



شکل (۲-۱): تقسیم نمودن لینک به مجموعه‌ای از جرم و فنر

سختی پیچشی هر لینک را که در حقیقت لینکی غیرصلب است، به فنری پیچشی فرض شده در بین

لینک‌ها واگذار شده و با این فرض لینک‌ها را صلب در نظر گرفته می‌شوند.

برای المان اول مقدار سختی پیچشی برابر است:

$$k_1 = \frac{8 EI}{9 l} \quad (1-2)$$

و برای المان دوم و پس از آن :

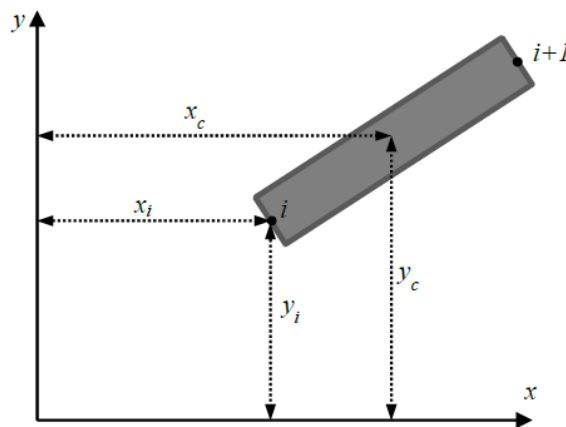
$$k_2 = \frac{48n - 72 EI}{42n - 71 l} \quad (2-2)$$

$$k_n = \frac{EI}{l}$$

در مدل غیرخطی تغییر زاویه‌ی المان‌ها زیاد بوده و در نتیجه برخلاف مدل خطی که حرکت المان‌ها

یک حرکت تک بعدی در جهت تغییر شکل است، در اینجا دوران المان‌ها یک دوران دو بعدی خواهد

بود. در شکل (۲-۲) نمایی از المان صلب برای مدل غیرخطی قابل مشاهده است:



شکل (۲-۲) : موقعیت مرکز جرم

با فرض قرارگیری مرکز جرم در وسط المان، با استفاده از شکل (۲-۲) موقعیت مرکز جرم خواهد شد:

$$x_c = x_i + \frac{l}{2} \cos \theta \quad (3-2)$$

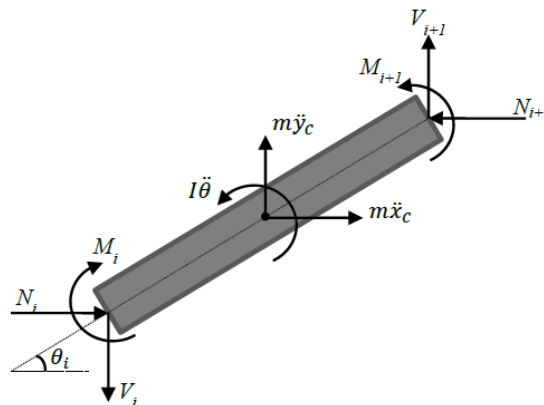
$$y_c = y_i + \frac{l}{2} \sin \theta \quad (4-2)$$

با مشتق‌گیری، رابطه شتاب در مرکز جرم بدین شکل به دست می‌آید:

$$\ddot{x}_c = \ddot{x}_i - \frac{l}{2} \ddot{\theta} \sin \theta - \frac{l}{2} \dot{\theta}^2 \cos \theta \quad (5-2)$$

$$\ddot{y}_c = \ddot{y}_i + \frac{l}{2} \ddot{\theta} \cos \theta - \frac{l}{2} \dot{\theta}^2 \sin \theta \quad (6-2)$$

در شکل (۳-۲) نیروها و گشتاورهای وارد بر المان نام نمایش داده شده است:



شکل (۳-۲): دیاگرام آزاد المان نام

با تعیین شتاب زاویه‌ای مرکز جرم میتوان با استفاده از قانون دوم نیوتن معادله نیرو را در جهت x و

y نوشت:

$$N_{i+1} = N_i - m\ddot{x}_c \quad (7-2)$$

$$V_{i+1} = V_i + m\ddot{y}_c \quad (8-2)$$

همچنین با گشتاورگیری حول نقطه i+1، می‌توان عبارت زیر را برای گشتاور نوشت:

$$M_{i+1} = M_i - N_i l \sin \theta - V_i l \cos \theta + I \ddot{\theta} + m\ddot{x}_c \frac{l}{2} \sin \theta - m\ddot{y}_c \frac{l}{2} \cos \theta \quad (9-2)$$

حال عبارت‌های به دست آمده برای شتاب در روابط نیرو و گشتاور جای گذاری می‌گردند:

$$N_{i+1} = N_i - m \left(\ddot{x}_i - \frac{l}{2} \ddot{\theta} \sin \theta - \frac{l}{2} \dot{\theta}^2 \cos \theta \right) \quad (10-2)$$

$$V_{i+1} = V_i + m \left(\ddot{y}_i + \frac{l}{2} \ddot{\theta} \cos \theta - \frac{l}{2} \dot{\theta}^2 \sin \theta \right) \quad (11-2)$$

$$M_{i+1} = M_i - N_i l \sin \theta - V_i l \cos \theta + \bar{I} \ddot{\theta} + m \frac{l}{2} \sin \theta (\ddot{x}_i - \frac{l}{2} \ddot{\theta} \sin \theta - \frac{l}{2} \dot{\theta}^2 \cos \theta) - m \frac{l}{2} \cos \theta (\ddot{y}_i + \frac{l}{2} \ddot{\theta} \cos \theta - \frac{l}{2} \dot{\theta}^2 \sin \theta) \quad (12-2)$$

اگرچه با استفاده از این معادله‌ها، رابطه بین نیرو و گشتاور بین دو نقطه‌ی متوالی i و $i+1$ به دست آمد، اما وجود عبارت‌هایی مانند \ddot{x}_i ، $\dot{\theta}$ ، $\dot{\theta}^2$ ، $\cos \theta$ و... در استفاده از روش اختلال ایجاد می‌نماید. در روش ماتریس انتقال کلاسیک رابطه‌ی بین سطرهای بردار حالت باید رابطه‌ای خطی باشد. پس نیاز است که با استفاده از روابط موجود در روش‌های عددی، عبارت‌های مذکور خطی‌سازی گردند.

۲-۳- خطی‌سازی و روش‌های عددی

با استفاده از روش ماتریس انتقال گسسته می‌توان مشتق اول و دوم عوامل موجود در ماتریس انتقال را به شکل خطی و به صورت تابعی از خود عامل نمایش داد. برای این منظور روابط زیر مفروضند:

$$\begin{aligned} \ddot{\theta}(t_i) &= E\theta(t_i) + F \\ \dot{\theta}(t_i) &= C\theta(t_i) + D \\ \ddot{x}(t_i) &= Hx(t_i) + G \\ \dot{x}(t_i) &= Rx(t_i) + S \\ \ddot{y}(t_i) &= Py(t_i) + Q \\ \dot{y}(t_i) &= wy(t_i) + Y \end{aligned} \quad (13-2)$$

برای برطرف کردن مشکل وجود توابع مثلثاتی در ماتریس انتقال، توابع مثلثاتی را در زمان t_i با استفاده از بسط تیلور، بر حسب زمان t_{i-1} نمایش داده می‌شوند. در این حالت توابع مثلثاتی در زمان t_i نقش یک عدد ثابت را داشته و بنابراین در ستون‌های نهایی ماتریس انتقال قرار می‌گیرند. توابع مثلثاتی به صورت زیر نمایش داده می‌شوند:

$$\begin{aligned} \sin \theta(t_i) &= \sin[\theta(t_i) + \Delta T] = \bar{s} + o(\Delta T^2) \\ \cos \theta(t_i) &= \cos[\theta(t_i) + \Delta T] = \bar{c} + o(\Delta T^2) \end{aligned} \quad (14-2)$$

که در آنها:

$$\begin{aligned}\bar{s} &= \sin \theta(t_{i-1}) \left\{ 1 - \frac{1}{2} [\dot{\theta}(t_{i-1}) \Delta T]^2 \right\} + \cos \theta(t_{i-1}) \left\{ \dot{\theta}(t_{i-1}) \Delta T + \frac{1}{2} \ddot{\theta}(t_{i-1}) \Delta T^2 \right\} \\ \bar{c} &= \cos \theta(t_{i-1}) \left\{ 1 - \frac{1}{2} [\dot{\theta}(t_{i-1}) \Delta T]^2 \right\} - \sin \theta(t_{i-1}) \Delta T + \frac{1}{2} \ddot{\theta}(t_{i-1}) \Delta T^2\end{aligned}\quad (15-2)$$

عبارت دیگری که موجب اختلال می‌شود، θ^2 است. برای خطی‌سازی این عبارت نیز از رابطه‌ی زیر کمک گرفته می‌شود:

$$a(t_i)b(t_i) = a(t_{i-1})b(t) + a(t_i)b(t_{i-1}) - a(t_{i-1})b(t_{i-1}) + \dot{a}(t_{i-1})\dot{b}(t_{i-1})\Delta T^2 \quad (16-2)$$

که $a(t)$ و $b(t)$ دو تابع دلخواه هستند.

با استفاده از رابطه بالا می‌توان θ^2 را به شکل زیر نمایش داد:

$$\dot{\theta}^2(t_i) = 2\dot{\theta}(t_{i-1})\dot{\theta}(t_i) - \dot{\theta}^2(t_{i-1}) + \ddot{\theta}^2(t_{i-1})\Delta T^2 = A\dot{\theta}(t_i) - B \quad (17-2)$$

$$\dot{\theta}(t_i) = C(\theta_i) + D \quad (18-2)$$

بنابراین با استفاده از رابطه‌ی بالا $\dot{\theta}^2$ را می‌توان به شکل تابعی خطی از $\dot{\theta}$ نمایش داد. همچنین با توجه به رابطه‌ی در نظر گرفته شده برای $\dot{\theta}$ می‌توان نوشت:

$$\dot{\theta}^2(t_i) = AC\theta(t_i) + (AD - B) \quad (19-2)$$

حال با بهره‌گیری از روابط بیان شده، معادلات خطی‌سازی می‌شوند. برای نیروی طولی می‌توان نوشت:

$$N_{i+1} = N_i - m \left[Hx_i + G - \frac{l}{2} \bar{s} (E\theta_i + F) - \frac{l}{2} \bar{c} [AC\theta_i + (AD - B)] \right] \quad (20-2)$$

با ساده‌سازی:

$$N_{i+1} = (-mH)x_i + \left[m \frac{l}{2} \bar{s} E + m \frac{l}{2} \bar{c} AC \right] \theta_i + N_i + \left[m \frac{l}{2} \bar{s} F + m \frac{l}{2} \bar{c} (AD - B) - mG \right] \quad (21-2)$$

همچنین برای نیروی عرضی نیز بطور مشابه:

$$V_{i+1} = (mP)y_i + \left[m\frac{l}{2}\bar{c}E - m\frac{l}{2}\bar{s}AC \right] \theta_i + V_i + \left[m\frac{l}{2}\bar{c}F - m\frac{l}{2}\bar{s}(AD-B) + mQ \right] \quad (22-2)$$

و برای گشتاور خمشی خواهد شد:

$$M_{i+1} = \left[m\frac{l}{2}\bar{s}H \right] x_i + \left[-m\frac{l}{2}\bar{c}P \right] y_i + M_i + (-l\bar{s})N_i + (-l\bar{c})V_i + \left[\bar{I}F + m\frac{l}{2}\bar{s}G - m\frac{l^2}{4}F(\bar{s}^2 + \bar{c}^2) - m\frac{l}{2}\bar{c}Q \right] \left[\bar{I}E - m\frac{l^2}{4}E(\bar{s}^2 + \bar{c}^2) \right] \theta_i \quad (23-2)$$

برای مدل غیرخطی می توان بردار حالت را به صورت زیر نمایش داد:

$$Z = [x, y, \theta, M, N, V, 1]^T \quad (24-2)$$

با استفاده از روابط به دست آمده، می شود رابطه ی بین نیرو و جابجایی، بین دو نقطه ی i و $i+1$ را

به صورت رابطه ی زیر نوشت:

$$x_{i+1} = x_i + l\bar{c} \quad (25-2)$$

$$y_{i+1} = y_i + l\bar{s}$$

$$\theta_{i+1} = \theta_i$$

$$M_{i+1} = \left[m\frac{l}{2}\bar{s}H \right] x_i + \left[-m\frac{l}{2}\bar{c}P \right] y_i + \left[\bar{I}E - m\frac{l^2}{4}E(\bar{s}^2 + \bar{c}^2) \right] \theta_i \quad (26-2)$$

$$+ M_i + (-l\bar{s})N_i + (-l\bar{c})V_i + \left[\bar{I}F + m\frac{l}{2}\bar{s}G - m\frac{l^2}{4}F(\bar{s}^2 + \bar{c}^2) - m\frac{l}{2}\bar{c}Q \right]$$

$$N_{i+1} = (-mH)x_i + \left[m\frac{l}{2}\bar{s}E - m\frac{l}{2}\bar{c}AC \right] \theta_i + N_i + \left[m\frac{l}{2}\bar{s}F + m\frac{l}{2}\bar{c}(AD-B) - mG \right] \quad (27-2)$$

$$V_{i+1} = (mP)y_i + \left[m\frac{l}{2}\bar{c}E - m\frac{l}{2}\bar{s}AC \right] \theta_i + V_i + \left[m\frac{l}{2}\bar{c}F - m\frac{l}{2}\bar{s}(AD-B) + mQ \right] \quad (28-2)$$

که با توجه به رابطه‌ی بالا ماتریس انتقال نهایی به شکل زیر به دست می‌آید:

$$\begin{bmatrix} x \\ y \\ \theta \\ M \\ N \\ V \\ 1 \end{bmatrix}_{i+1} = \begin{bmatrix} 1 & 0 & 0 & 0 & 0 & 0 & 0 \\ 0 & 1 & 0 & 0 & 0 & 0 & \bar{l}s \\ 0 & 0 & 1 & 0 & 0 & 0 & 0 \\ m\frac{l}{2}\bar{s}H & -m\frac{l}{2}\bar{c}P & u_{43} & 1 & -\bar{l}s & -\bar{l}\bar{c} & u_{47} \\ -mH & 0 & u_{53} & 0 & 1 & 0 & u_{57} \\ 0 & mP & u_{63} & 0 & 0 & 1 & u_{67} \\ 0 & 0 & 0 & 0 & 0 & 0 & 1 \end{bmatrix} \begin{bmatrix} x \\ y \\ \theta \\ M \\ N \\ V \\ 1 \end{bmatrix}_i \quad (29-2)$$

که ضرایب آن بدین ترتیب می‌باشند:

$$u_{43} = \bar{l}E - m\frac{l^2}{4}E(\bar{s}^2 + \bar{c}^2)$$

$$u_{47} = \bar{l}F + m\frac{l}{2}\bar{s}G - m\frac{l^2}{4}F(\bar{s}^2 + \bar{c}^2) - m\frac{l}{2}\bar{c}Q \quad (30-2)$$

$$u_{53} = m\frac{l}{2}\bar{s}E + m\frac{l}{2}\bar{c}AC$$

$$u_{57} = m\frac{l}{2}\bar{s}F + m\frac{l}{2}\bar{c}(AD - B) - mG$$

$$u_{63} = m\frac{l}{2}\bar{c}E - m\frac{l}{2}\bar{s}AC \quad (31-2)$$

$$u_{67} = m\frac{l}{2}\bar{c}F - m\frac{l}{2}\bar{s}(AD - B) + mQ$$

برای فنر، در صورتی که تعداد المان‌های صلب به اندازه‌ی کافی زیاد باشد، می‌توان رابطه‌ی بین نیرو و

زاویه‌ی بین دو نقطه‌ی i و $i+1$ را به صورت زیر نمایش داد:

$$x_{i+1} = x_i, \quad y_{i+1} = y_i, \quad M_{i+1} = M_i, \quad N_{i+1} = N_i$$

$$V_{i+1} = V_i, \quad \theta_{i+1} = \theta_i + \frac{1}{k_i}M_i \quad (32-2)$$

و در نهایت ماتریس انتقال فنر به صورت زیر حاصل می‌آید:

$$U_{TSD} = \begin{bmatrix} 1 & 0 & 0 & 0 & 0 & 0 & 0 \\ 0 & 1 & 0 & 0 & 0 & 0 & 0 \\ 0 & 0 & 1 & \frac{1}{k_i} & 0 & 0 & 0 \\ 0 & 0 & 0 & 1 & 0 & 0 & 0 \\ 0 & 0 & 0 & 0 & 1 & 0 & 0 \\ 0 & 0 & 0 & 0 & 0 & 1 & 0 \\ 0 & 0 & 0 & 0 & 0 & 0 & 1 \end{bmatrix} \quad (۳۳-۲)$$

در صورتی که فرض شود در انتهای تیر نیروی عمودی $F(t)$ وارد می‌شود، در این حالت ماتریس انتقال

بین دو نقطه یک در تکیه‌گاه تیر و نقطه n در انتهای تیر خواهد شد:

$$Z_n = U_{\tau} U_{m_n} U_{sd_n} U_{m_{n-1}} U_{sd_{n-1}} \dots U_{m_1} U_{sd} Z_1 \quad (۳۴-۲)$$

که در عبارت بالا U_m ماتریس انتقال المان صلب، U_{τ} ماتریس انتقال نیروی خارجی و U_{sd} ماتریس انتقال فنر پیچشی می‌باشد. در صورتی که تکیه‌گاه تیر (و یا تکیه‌گاه موتور دورانی) گیردار در نظر گرفته شود، در این حالت گشتاور خمشی، نیروی طولی و نیروی عمودی در انتهای تیر صفر خواهد بود.

از سوی دیگر جابجایی و شیب در تکیه‌گاه برابر با صفر بوده و بنابراین شرایط مرزی به صورت رابطه

(۳۴-۲) به دست می‌آید:

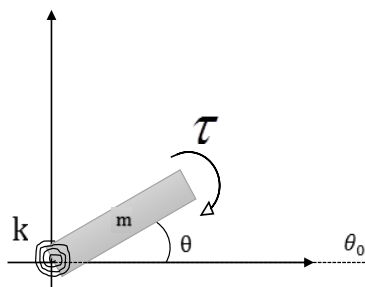
$$\begin{bmatrix} x \\ y \\ \theta \\ 0 \\ 0 \\ 0 \\ 1 \end{bmatrix}_{i+1} = \begin{bmatrix} u_{11} & u_{12} & u_{13} & u_{14} & u_{15} & u_{16} & u_{17} \\ u_{21} & u_{22} & u_{23} & u_{24} & u_{25} & u_{26} & u_{27} \\ u_{31} & u_{32} & u_{33} & u_{34} & u_{35} & u_{36} & u_{37} \\ u_{41} & u_{42} & u_{43} & u_{44} & u_{45} & u_{46} & u_{47} \\ u_{51} & u_{52} & u_{53} & u_{54} & u_{55} & u_{56} & u_{57} \\ u_{61} & u_{62} & u_{63} & u_{64} & u_{65} & u_{66} & u_{67} \\ 0 & 0 & 0 & 0 & 0 & 0 & 1 \end{bmatrix} \begin{bmatrix} 0 \\ 0 \\ 0 \\ M \\ N \\ V \\ 1 \end{bmatrix}_i \quad (۳۵-۲)$$

$$\begin{aligned}
-x_n + u_{14}M_1 + u_{15}N_1 + u_{16}V_1 &= -u_{17} \\
-y_n + u_{24}M_1 + u_{25}N_1 + u_{26}V_1 &= -u_{27} \\
-\theta_n + u_{34}M_1 + u_{35}N_1 + u_{36}V_1 &= -u_{37} \\
u_{44}M_1 + u_{45}N_1 + u_{46}V_1 &= -u_{47} \\
u_{54}M_1 + u_{55}N_1 + u_{56}V_1 &= -u_{57} \\
u_{64}M_1 + u_{65}N_1 + u_{66}V_1 &= -u_{67} \\
1 &= 1
\end{aligned}$$

در پایان جابجایی و شیب انتهای تیر و گشتاور خمشی و نیرو در تکیه‌گاه بدین ترتیب به دست می‌آیند:

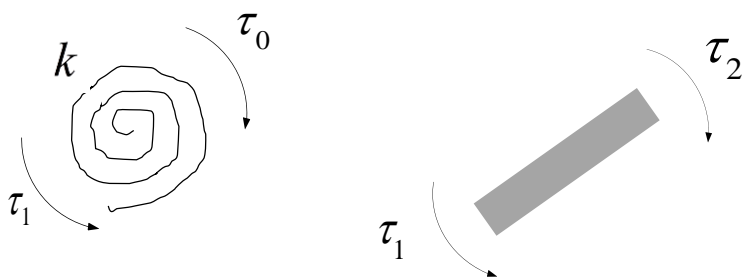
$$\begin{bmatrix} x_n \\ y_n \\ \theta_n \\ M_1 \\ N_1 \\ V_1 \end{bmatrix} = \begin{bmatrix} -1 & 0 & 0 & u_{14} & u_{15} & u_{16} \\ 0 & -1 & 0 & u_{24} & u_{25} & u_{26} \\ 0 & 0 & -1 & u_{34} & u_{35} & u_{36} \\ 0 & 0 & 0 & u_{44} & u_{45} & u_{46} \\ 0 & 0 & 0 & u_{54} & u_{55} & u_{56} \\ 0 & 0 & 0 & u_{64} & u_{65} & u_{66} \end{bmatrix}^{-1} \begin{bmatrix} -u_{17} \\ -u_{27} \\ -u_{37} \\ -u_{47} \\ -u_{57} \\ -u_{67} \end{bmatrix}$$

در این پایان نامه نتایج براساس بردار حالتی شامل θ و τ بررسی گردیده‌اند:



شکل (۴-۲): سیستم یک درجه آزادی شامل جرم، فنر پیچشی و ممان اینرسی

هر جزء سیستم مانند شکل (۴-۲) شامل یک لینک که با فنر پیچشی به پایه متصل است، در نظر گرفته می‌شود.



شکل (۵-۲): شکل گسترش یافته‌ی سیستم یک درجه آزادی

معادله‌ی کلی تعادل:

$$I\ddot{\theta} + C\dot{\theta} + K\theta = \tau \quad (۳۶-۲)$$

و معادله‌ی تعادل گشتاورها در فنر:

$$\tau_0 = \tau_1 \quad (۳۷-۲)$$

$$\tau_0 = k(\theta_1 - \theta_0) \quad (۳۸-۲)$$

$$\theta_1 = \frac{\tau_0}{k} + \theta_0 \quad (۳۹-۲)$$

اگر معادله‌های (۳۸-۲) و (۳۹-۲) به شکل ماتریسی نوشته شوند، خواهند شد:

$$\begin{bmatrix} \theta_1 \\ \tau_1 \end{bmatrix} = \begin{bmatrix} 1 & \frac{1}{k} \\ 0 & 1 \end{bmatrix} \begin{bmatrix} \theta_0 \\ \tau_0 \end{bmatrix} \quad (۴۰-۲)$$

$$u_s = \begin{bmatrix} 1 & \frac{1}{k} \\ 0 & 1 \end{bmatrix} \quad (۴۱-۲)$$

که U_s ماتریس انتقال فنر است که بردار حالت انتقال از نقطه‌ی صفر به نقطه‌ی یک می‌باشد.

لینک به‌عنوان یک بدنه‌ی صلب منظور می‌گردد. پس برای قسمت دوم سیستم می‌توان نوشت:

$$\theta_1 = \theta_2 \quad (۴۲-۲)$$

$$\tau_2 - \tau_1 = I\ddot{\theta}_1 \quad (۴۳-۲)$$

با استفاده از تبدیل لاپلاس:

$$\tau_2 - \tau_1 = Is^2 \theta_1 \quad (44-2)$$

$$\tau_2 = \tau_1 + Is^2 \theta_1 \quad (45-2)$$

نمایش ماتریسی معادله‌های (42-2) و (45-2) به‌قرار زیر خواهد شد:

$$\begin{bmatrix} \theta_2 \\ \tau_2 \end{bmatrix} = \begin{bmatrix} 1 & 0 \\ Is^2 & 1 \end{bmatrix} \begin{bmatrix} \theta_1 \\ \tau_1 \end{bmatrix} \quad (46-2)$$

$$U_m = \begin{bmatrix} 1 & 0 \\ Is^2 & 1 \end{bmatrix} \quad (47-2)$$

که U_m ماتریس انتقال جرم است.

قرار دادن θ_1 و τ_1 :

$$\begin{bmatrix} \theta_2 \\ \tau_2 \end{bmatrix} = \begin{bmatrix} 1 & 0 \\ Is^2 & 1 \end{bmatrix} \begin{bmatrix} 1 & \frac{1}{k} \\ 0 & 1 \end{bmatrix} \begin{bmatrix} \theta_0 \\ \tau_0 \end{bmatrix} \quad (48-2)$$

$$\begin{bmatrix} \theta_2 \\ \tau_2 \end{bmatrix} = \begin{bmatrix} 1 & \frac{1}{k} \\ Is^2 & \frac{Is^2}{k} + 1 \end{bmatrix} \begin{bmatrix} \theta_0 \\ \tau_0 \end{bmatrix} \quad (49-2)$$

در صورت منظور کردن یک پاسخ آزاد سیستم:

$$\theta_0 = 0 \quad (50-2)$$

$$\tau_2 = 0 \quad (51-2)$$

در نتیجه:

$$\begin{bmatrix} \theta_2 \\ 0 \end{bmatrix} = \begin{bmatrix} 1 & \frac{1}{k} \\ Is^2 & \frac{Is^2}{k} + 1 \end{bmatrix} \begin{bmatrix} 0 \\ \tau_0 \end{bmatrix} \quad (52-2)$$

که ستون اول آن نتیجه می‌دهد:

$$\theta_2 = \frac{\tau_0}{k} \quad (53-2)$$

و ستون دوم:

$$\left(\frac{Is^2}{k} + 1\right)\tau_0 = 0 \quad (54-2)$$

پاسخ غیر بدیهی معادله (54-2):

$$\left(\frac{Is^2}{k} + 1\right) = 0 \quad (55-2)$$

قسمت موهومی پاسخ همان فرکانس طبیعی است.

$$s = \pm j\sqrt{\frac{k}{I}} \quad (56-2)$$

در حالت پاسخ اجباری سیستم که در آن $\tau_2 = T \neq 0$ و $\theta_0 = 0$ معادله‌ی (48-2) به شکل زیر درمی‌آید:

$$\begin{bmatrix} \theta_2 \\ T \end{bmatrix} = \begin{bmatrix} 1 & \frac{1}{k} \\ Is^2 & \frac{Is^2}{k} + 1 \end{bmatrix} \begin{bmatrix} 0 \\ \tau_0 \end{bmatrix} \quad (57-2)$$

بنابراین نتیجه می‌شود:

$$\theta_2 = \frac{I_0}{k} \quad (58-2)$$

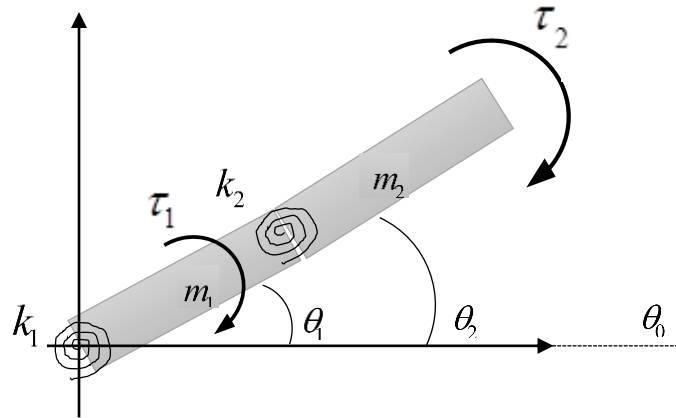
$$T = \left(\frac{Is^2}{k} + 1\right)\tau_0 \quad (59-2)$$

با تقسیم این دو برهم تابع انتقال سیستم به دست می‌آید:

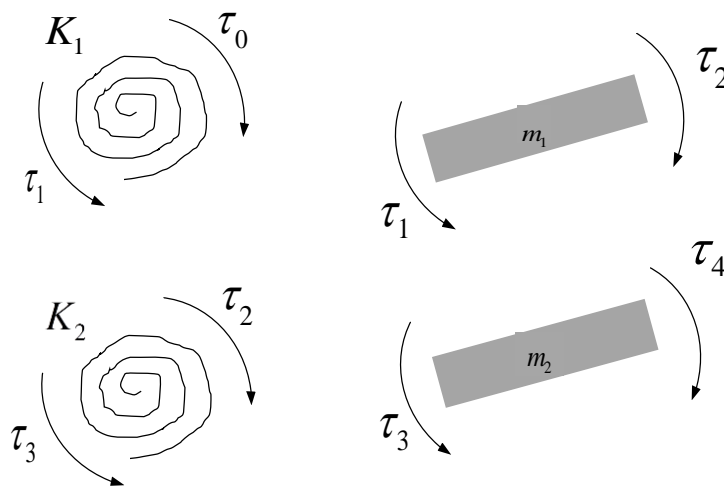
$$\frac{\theta_2}{T} = \left(\frac{1}{Is^2 + k}\right) \quad (60-2)$$

اگرچه تبدیل لاپلاس راه آسان‌تری برای رسیدن به تابع انتقال در چنین سیستمی است، اما در سیستم‌های پیچیده این روش کمک زیادی می‌کند.

سیستمی دو درجه آزادی مفروض است :



شکل (۶-۲) : یک سیستم دو درجه آزادی شامل جرم، فنر و دمپر با گشتاورهای خارجی



شکل (۷-۲) : شکل گسترش یافته‌ی سیستم دو درجه آزادی

از آنجا که فنر و دمپر بدون جرم فرض می‌شوند:

$$\tau_0 = \tau_1 \quad (۶۱-۲)$$

$$\tau_1 = k_1(\theta_1 - \theta_0) + c_1(\dot{\theta}_1 - \dot{\theta}_0) \quad (۶۲-۲)$$

با استفاده از تبدیل لاپلاس:

$$\tau_1 = k_1(\theta_1 - \theta_0) + c_1 s(\theta_1 - \theta_0) \quad (۶۳-۲)$$

اگر این معادله برای θ_1 حل شود نتیجه می‌شود:

$$\theta_1 = \theta_0 + \frac{\tau_1}{k_1 + c_1 s} \quad (64-2)$$

مجموع معادله‌های (61-2) و (64-2) :

$$\begin{bmatrix} \theta_1 \\ \tau_1 \end{bmatrix} = \begin{bmatrix} 1 & \frac{1}{k_1 + c_1 s} \\ 0 & 1 \end{bmatrix} \begin{bmatrix} \theta_0 \\ \tau_0 \end{bmatrix} \quad (65-2)$$

$$U_{s_1 d_1} = \begin{bmatrix} 1 & \frac{1}{k_1 + c_1 s} \\ 0 & 1 \end{bmatrix} \quad (66-2)$$

$U_{s_1 d_1}$ ماتریس انتقال فنر s_1 و دمپر d_1 می‌باشد. در قسمت دوم جرم m_1 صلب در نظر گرفته

می‌شود پس:

$$\theta_1 = \theta_2 \quad (67-2)$$

$$\tau_2 - \tau_1 = I_1 \ddot{\theta}_1 \quad (68-2)$$

تبدیل لاپلاس آن:

$$\tau_2 - \tau_1 = I_1 s^2 \theta_1 \quad (69-2)$$

$$\tau_2 = \tau_1 + I_1 s^2 \theta_1 \quad (70-2)$$

حال معادله‌های (67-2) و (70-2) در شکل ماتریسی:

$$\begin{bmatrix} \theta_2 \\ \tau_2 \end{bmatrix} = \begin{bmatrix} 1 & 0 \\ I_1 s^2 & 1 \end{bmatrix} \begin{bmatrix} \theta_1 \\ \tau_1 \end{bmatrix} \quad (71-2)$$

$$U_{m_1} = \begin{bmatrix} 1 & 0 \\ I_1 s^2 & 1 \end{bmatrix} \quad (72-2)$$

U_{m_1} ماتریس انتقال جرم m_1 است.

هنگامی که نیروی خارجی در آخرین المان اعمال نگردیده باشد، ماتریس‌های انتقال الحاقی می‌توانند

نقش گشتاورهای وارده، ممنوم و جابجایی‌ها را در ماتریس‌های روش ماتریس انتقال ایفا نمایند.

به معنای دیگر یک سطر و یک ستون باید به ماتریس انتقال افزوده گردد. همه درایه‌های افزوده صفر می‌باشند غیر از آخرین درایه روی قطر اصلی که مقداری برابر یک می‌گیرد.

یک ماتریس انتقال الحاقی جرم به شکل زیر تشکیل می‌گردد:

$$U_m = \begin{bmatrix} 1 & 0 & 0 \\ Is^2 & 1 & 0 \\ 0 & 0 & 1 \end{bmatrix} \quad (73-2)$$

و نیز یک ماتریس انتقال الحاقی برای فنر-دمپر:

$$U_{sd} = \begin{bmatrix} 1 & \frac{1}{k+cs} & 0 \\ 0 & 1 & 0 \\ 0 & 0 & 1 \end{bmatrix} \quad (74-2)$$

و ماتریس انتقال الحاقی نیرو:

$$U_\tau = \begin{bmatrix} 1 & 0 & 0 \\ 0 & 1 & -T \\ 0 & 0 & 1 \end{bmatrix} \quad (75-2)$$

هنگام استفاده از ماتریس‌های الحاقی بردار حالت باید به شکل زیر باشد:

$$Z = \begin{bmatrix} \theta \\ \tau \\ 1 \end{bmatrix} \quad (76-2)$$

حالا ماتریس‌های الحاقی برای همه‌ی اجزاء قابل نوشتن است.

ماتریس انتقال الحاقی فنر-دمپر برای فنر-دمپر اول:

$$U_{s_1d_1} = \begin{bmatrix} 1 & \frac{1}{k_1+c_1s} & 0 \\ 0 & 1 & 0 \\ 0 & 0 & 1 \end{bmatrix} \quad (77-2)$$

و ماتریس انتقال الحاقی جرمی برای m_1 خواهد شد:

$$U_{m_1} = \begin{bmatrix} 1 & 0 & 0 \\ I_1 s^2 & 1 & 0 \\ 0 & 0 & 1 \end{bmatrix} \quad (78-2)$$

ماتریس انتقال الحاقی گشتاور برای τ_1 نیز می‌شود:

$$U_{\tau_1} = \begin{bmatrix} 1 & 0 & 0 \\ 0 & 1 & -T_1 \\ 0 & 0 & 1 \end{bmatrix} \quad (79-2)$$

و ماتریس انتقال الحاقی فنر-دمپر برای فنر-دمپر دوم:

$$U_{s_2 d_2} = \begin{bmatrix} 1 & \frac{1}{k_2 + c_2 s} & 0 \\ 0 & 1 & 0 \\ 0 & 0 & 1 \end{bmatrix} \quad (80-2)$$

و برای m_2 نیز :

$$U_{m_2} = \begin{bmatrix} 1 & 0 & 0 \\ I_2 s^2 & 1 & 0 \\ 0 & 0 & 1 \end{bmatrix} \quad (81-2)$$

اینک ماتریس انتقال کل سیستم با ضرب همه‌ی ماتریس‌های انتقال قابل محاسبه است.

با فرض $\tau_2 = 0$:

$$U_{sys} = U_{m_2} U_{s_2 d_2} U_{\tau_1} U_{m_1} U_{s_1 d_1} \quad (82-2)$$

شکل بردار حالت پایه:

$$Z_{base} = \begin{bmatrix} \theta_{base} \\ \tau_{base} \\ 1 \end{bmatrix} \quad (83-2)$$

و بردار حالت نهایی:

$$Z_{end} = \begin{bmatrix} \theta_{end} \\ \tau_{end} \\ 1 \end{bmatrix} \quad (۸۴-۲)$$

با اعمال شرایط مرزی:

$$\tau_{end} = 0 \quad (۸۵-۲)$$

$$\theta_{base} = 0 \quad (۸۶-۲)$$

بردارهای حالت پایه و نهایی به شکل زیر در می‌آیند:

$$Z_{base} = \begin{bmatrix} 0 \\ \tau_{base} \\ 1 \end{bmatrix} \quad (۸۷-۲)$$

$$Z_{end} = \begin{bmatrix} \theta_{end} \\ 0 \\ 1 \end{bmatrix} \quad (۸۸-۲)$$

با در اختیار داشتن U_{sys} داریم:

$$Z_{end} = U_{sys} Z_{base} \quad (۸۹-۲)$$

U_{sys} را می‌توان اینگونه نوشت:

$$U_{sys} = \begin{bmatrix} U_{11} & U_{12} & U_{13} \\ U_{12} & U_{22} & U_{23} \\ U_{13} & U_{23} & U_{33} \end{bmatrix} \quad (۹۰-۲)$$

با جایگزاری Z_{base} ، Z_{end} و U_{sys} در معادله‌ی (۸۹-۲):

$$\begin{bmatrix} \theta_{end} \\ 0 \\ 1 \end{bmatrix} = \begin{bmatrix} U_{11} & U_{12} & U_{13} \\ U_{21} & U_{22} & U_{23} \\ U_{31} & U_{32} & U_{33} \end{bmatrix} \begin{bmatrix} 0 \\ \tau_{base} \\ 1 \end{bmatrix} \quad (۹۱-۲)$$

τ_{base} و θ_{end} مجهولند. از خط دوم معادله‌ی (۹۱-۲):

$$U_{22}\tau_{base} + U_{23} = 0 \quad (92-2)$$

$$\tau_{base} = \frac{-U_{23}}{U_{22}} \quad (93-2)$$

بردار حالت پایه می‌شود:

$$Z_{base} = \begin{bmatrix} 0 \\ \frac{-U_{23}}{U_{22}} \\ 1 \end{bmatrix} \quad (94-2)$$

با دانستن Z_{base} ، بردار حالت هر نقطه در سیستم قابل محاسبه است. به‌عنوان مثال بردار

حالت برای نقطه‌ی دو می‌شود:

$$Z_2 = Z_{m_1} = U_{m_1} U_{s_1 d_1} Z_{base} \quad (95-2)$$

همچنین بردار حالت نقطه‌ی سه:

$$Z_3 = U_{s_2 d_2} U_{m_1} U_{s_1 d_1} Z_{base} \quad (96-2)$$

معادله‌های (۸۸-۲) و (۹۴-۲) را می‌توان برای به‌دست آوردن تابع انتقال $\frac{\theta_1}{\tau}$ و $\frac{\theta_2}{\tau}$

استفاده نمود.

از معادله‌ی (۹۴-۲) به‌دست می‌آید:

$$\begin{bmatrix} \theta_1 \\ \tau_1 \\ 1 \end{bmatrix} = \begin{bmatrix} 1 & 0 & 0 \\ I_1 s^2 & 1 & 0 \\ 0 & 0 & 1 \end{bmatrix} \begin{bmatrix} 1 & \frac{1}{k_1 + c_1 s} & 0 \\ 0 & 1 & 0 \\ 0 & 0 & 1 \end{bmatrix} \begin{bmatrix} 0 \\ \frac{-U_{23}}{U_{22}} \\ 1 \end{bmatrix} \quad (97-2)$$

از معادله‌ی (۲-۹۷)، $\frac{\theta_1}{T}$ برابر می‌گردد با:

$$\frac{\theta_1}{T} = \frac{I_2 s^2 + c_2 s + k_2}{P} \quad (۲-۹۸)$$

و از معادله‌ی (۲-۹۴) نیز:

$$\frac{\theta_2}{T} = \frac{c_2 T s + T k_2}{P} \quad (۲-۹۹)$$

که P در آن برابر است با:

$$P = (I_1 I_2) s^4 + (c_2 I_1 + c_2 I_2 + c_1 I_2) s^3 + (k_2 I_2 + k_1 I_2 + k_2 I_1 + c_1 c_2) s^2 + (k_2 c_1 + k_1 c_2) s + k_1 k_2$$

برای سیستم‌هایی با درجه‌ی آزادی کم، این روش قابل اعتماد نیست اما با افزایش درجه‌ی آزادی سیستم، مدل‌سازی و دستیابی به ماتریس‌های انتقال می‌تواند بسیار آسان‌تر باشد.

همانگونه که پیش‌ازاین گفته شد، روش ماتریس انتقال محدودیت‌هایی دارد. این روش تنها می‌تواند سیستم‌های خطی را مدل‌کند و خروجی آن نیز در قلمرو فرکانسی است.

در اینجا انتگرال‌گیری عددی برای غلبه بر این محدودیت‌ها به‌کمک می‌آید. با ترکیب روش ماتریس انتقال و روش انتگرال‌گیری عددی، سیستم‌های غیرخطی و یا با خروجی در قلمرو زمان، قابل تحلیل خواهند بود.

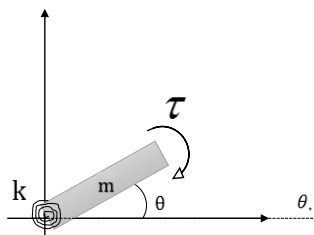
در فصل بعد این روش ترکیبی، روش ماتریس انتقال گسسته، معرفی می‌گردد.

فصل سوم : روش ماتریس انتقال گسسته

همانطور که پیش از این گفته شد ترکیب روش‌های ماتریس انتقال کلاسیک و روش انتگرال‌گیری عددی به روش ماتریس انتقال گسسته شناخته شده که مزایای هر دو روش را داراست. مرتبه‌ی ماتریس‌ها در روش ماتریس انتقال گسسته مانند روش کلاسیک، کم است و به موجب آن محاسبات کمتر و رسیدن به پاسخ سریع‌تر است. اضافه بر آن روش ماتریس انتقال گسسته می‌تواند سیستم‌های غیرخطی را نیز مدل‌سازی نماید و خروجی آن در قلمرو زمان بوده که قابل استفاده در روش انتگرال‌گیری عددی است. با این حال این روش، حساسیت به گام‌های زمانی را از روش عددی به ارث برده است. باید گام‌های زمانی به گونه‌ای انتخاب شوند که کمترین اثر را در خروجی داشته باشند. در بخش‌های آتی سیستم‌های یک و دو درجه آزادی با این روش توضیح داده شده‌اند.

۳-۱- روش ماتریس انتقال گسسته برای یک سیستم یک درجه آزادی

بردار حالت در روش ماتریس انتقال گسسته دقیقاً مانند حالت معمول آن است. در مثال‌های آینده بردار حالت بر پایه دو عامل دوران و مقدار گشتاور وارده تشکیل شده است. در شکل (۳-۱) سیستمی یک درجه آزادی شامل جرم، فنری پیچشی و دمپری پنهان قابل مشاهده است. این سیستم به سه قسمت فنر-دمپر، جرم و گشتاور تقسیم می‌شود. همچنین در آن سه گره θ_0 و θ_1 برای فنر و θ_2 برای جرم تعریف شده است.



شکل (۳-۱): لینک یک درجه آزادی با فنر پیچشی

پس از ترکیب روش ماتریس انتقال کلاسیک با روش‌های انتگرال‌گیری عددی، عبارتهای سرعت و شتاب زاویه‌ای بر اساس جابجایی تعریف شدند.

در این رویه دیگر به تبدیل لاپلاس که روش ماتریس انتقال را محدود به سیستم‌های خطی می‌نمود، نیازی نیست.

معادله خطی‌سازی را به شکل زیر تعریف می‌شوند:

$$\ddot{\theta}_n(t_i) = A_n(t_i)\theta_n(t_i) + B_n(t_i) \quad (1-3)$$

$$\dot{\theta}_n(t_i) = D_n(t_i)\theta_n(t_i) + E_n(t_i) \quad (2-3)$$

این معادلات خطی هستند و براساس جابجایی نوشته شده‌اند. همانگونه که در گذشته بیان شد در روش ماتریس انتقال، یک سیستم به تعدادی زیرسیستم تقسیم می‌گردد.

هر زیرسیستم می‌تواند به یک سیستم جرم-فنر-دمپر مدل شود. هر زیرسیستم یک جایگاه^۱ نامیده می‌شود. زیرنویس n بیانگر شماره زیرسیستم در ترتیب آنهاست.

برای مثال در شکل (۱-۳) تنها یک جایگاه وجود دارد چون سیستم یک درجه آزادی است پس n مربوط به آن برابر یک خواهد بود. به همین ترتیب در سیستمی با دو درجه آزادی n خواهد شد یک و دو و زیرنویس i نیز نشان‌دهنده ترتیب گام زمانی مرتبط است. به عنوان مثال اگر پاسخ سیستم طی یک ثانیه را با گام‌های $0/1$ ثانیه مطلوب باشد، i به ترتیب از یک تا ده می‌گردد. اضافه بر این ایستگاه n شامل m_n, k_n و c_n خواهد بود. $\dot{\theta}_n$ و $\ddot{\theta}_n$ نیز بیانگر سرعت و شتاب زاویه‌ای m_n هستند. A_n, D_n, B_n و E_n ضرایبی هستند که در روش‌های مختلف انتگرال‌گیری عددی متفاوتند و باید محاسبه گردند.

A_n که ضریب θ_n است با معکوس مربع زمان رابطه دارد و مقدارش برای همه گام‌ها ثابت است.

به عنوان مثال این ضریب در روش نیومارک مساوی است با :

$$A_n = \frac{1}{\beta \Delta T^2} \quad (3-3)$$

اما ضریب B_n بسته به این که چه روش انتگرال گیری عددی به کار رفته باشد تابعی از عوامل مختلف مثل دوران ، سرعت و شتاب زاویه‌ای، در همان گام زمانی یا گام‌های قبلی است. معمولاً متناسب است با معکوس زمان به توان دو . مثلاً در روش نیومارک برابر است با :

$$B_n = \frac{-1}{\beta \Delta T^2} \left[x(t_{i-1}) + \Delta T \dot{x}(t_{i-1}) + (0.5 - \beta) \Delta T^2 \ddot{x}(t_{i-1}) \right] \quad (4-3)$$

D_n که ضریب θ_n در معادله (۲-۳) است با توان دوم معکوس گام زمانی متناسب بوده و در هر گام ثابت فرض می‌گردد.

در روش نیومارک برابر است با:

$$D_n = \frac{\gamma}{\beta \Delta T} \quad (5-3)$$

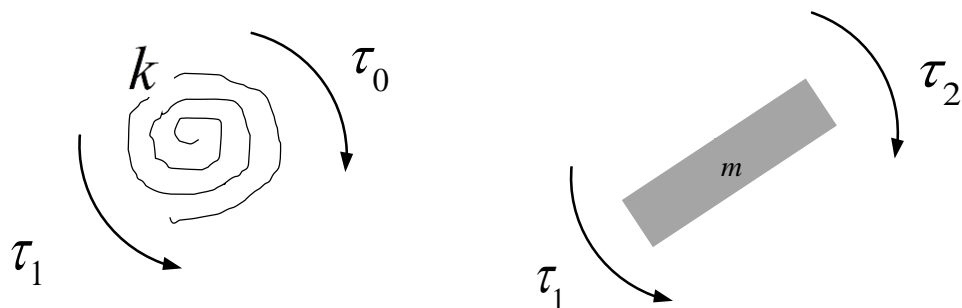
E_n در معادله (۲-۳) تابعی از عوامل مختلف همچون دوران ، سرعت و شتاب در همان گام یا گام‌های زمانی قبلی است. این ضریب در روش نیومارک بتا برابر است با:

$$E_n = \dot{\theta}(t_{i-1}) + \Delta T \left[(1 - \gamma) \ddot{\theta}(t_{i-1}) + (\gamma \beta_n) \right] \quad (6-3)$$

β و γ اعداد ثابتی‌اند و به دقت و تغییر شتاب در هر گام وابسته‌اند. برای مثال اگر شتاب در هر گام

زمانی به شکل خطی تغییر نماید، $\beta = \frac{1}{6}$ و $\gamma = \frac{1}{2}$ منظور می‌شود که در آینده به آن خواهیم

پرداخت.



شکل (۷-۲) : گسترش یافته جرم و فنر سیستم یک درجه آزادی

از تعادل گشتاورها در مجموعه فنر-دمپر نتیجه می‌گردد:

$$\tau_0 = \tau_1 \quad (7-3)$$

از رابطه گشتاورها در جرم نیز به دست می‌آید که:

$$\tau_2 - \tau_1 = I\ddot{\theta}_1 \quad (8-3)$$

از آنجا که المان جرم صلب فرض می‌شود:

$$\theta_2 = \theta_1 \quad (9-3)$$

برای ادغام انتگرال‌گیری عددی و روش‌های ماتریس انتقال معادله‌های (۱-۳) و (۲-۳)

بایست در معادله‌های (۸-۳) و (۹-۳) قرار داده شوند:

$$\tau_0 = \tau_1 = k(\theta_1(t_i) - \theta_0(t_i)) + c[(D_1(t_i)\theta_1(t_i) + E_1(t_i)) - (D_0(t_i)\theta_0(t_i) + E_0(t_i))] \quad (10-3)$$

که اگر براساس θ_1 نوشته شود:

$$\theta_1 = \frac{(cD_0 + k)\theta_0}{(cD_1 + k)} + \frac{\tau_0}{(cD_1 + k)} + \frac{c(E_0 - E_1)}{(cD_1 + k)} \quad (11-3)$$

معادله‌های (۷-۳) و (۱۱-۳) را به شکل ماتریسی در می‌آیند:

$$\begin{bmatrix} \theta_1 \\ \tau_1 \\ 1 \end{bmatrix} = \begin{bmatrix} \frac{(cD_0 + k)}{(cD_1 + k)} & \frac{1}{(cD_1 + k)} & \frac{c(E_0 - E_1)}{(cD_1 + k)} \\ 0 & 1 & 0 \\ 0 & 0 & 1 \end{bmatrix} \begin{bmatrix} \theta_0 \\ \tau_0 \\ 1 \end{bmatrix} \quad (12-3)$$

U_{sd} ماتریس انتقال مجموعه با بردارهای حالت انتقال از نقطه صفر به نقطه یک تعریف

می‌گردد:

$$U_{sd} = \begin{bmatrix} \frac{(cD_0 + k)}{(cD_1 + k)} & \frac{1}{(cD_1 + k)} & \frac{c(E_0 - E_1)}{(cD_1 + k)} \\ 0 & 1 & 0 \\ 0 & 0 & 1 \end{bmatrix} \quad (13-3)$$

از آنجا که در سیستم یک درجه آزادی تنها یک وضعیت موجود است پس D_0 و E_0 صفر می‌شوند.

معادله (۱-۳) برای به دست آوردن ماتریس انتقال جرم m به معادله (۸-۳) افزوده می‌گردد:

$$\tau_2 - \tau_1 = I [A_1(t_i) \theta_n(t_i) + B_1(t_i)] \quad (۱۴-۳)$$

که τ_2 از آن به دست می‌آید:

$$\tau_2 = \tau_1 + IA_1(t_i) \theta_n(t_i) + IB_1(t_i) \quad (۱۵-۳)$$

بنابراین معادله‌های (۹-۳) و (۱۵-۳) را به شکل ماتریسی می‌شوند:

$$\begin{bmatrix} \theta_2 \\ \tau_2 \\ 1 \end{bmatrix} = \begin{bmatrix} 1 & 0 & 0 \\ IA_1 & 1 & IB_1 \\ 0 & 0 & 1 \end{bmatrix} \begin{bmatrix} \theta_1 \\ \tau_1 \\ 1 \end{bmatrix} \quad (۱۶-۳)$$

U_m در این روش، ماتریس انتقال جرمی از بردارهای حالت انتقال از نقطه یک به دو تعریف می‌گردد:

$$U_m = \begin{bmatrix} 1 & 0 & 0 \\ IA_1 & 1 & IB_1 \\ 0 & 0 & 1 \end{bmatrix} \quad (۱۷-۳)$$

همچنین ماتریس U_τ که برای ماتریس انتقال گسسته، مانند روش قبل آن است:

$$U_\tau = \begin{bmatrix} 1 & 0 & 0 \\ 0 & 1 & -T \\ 0 & 0 & 1 \end{bmatrix} \quad (۱۸-۳)$$

اینک با تعیین ماتریس‌های انتقال فنر-دمپر، جرم و گشتاور، ماتریس انتقال کل سیستم قابل محاسبه است.

روش جمع ماتریس‌ها در این روش نیز مانند روش غیرگسسته است؛ از نقطه‌ی پایانی آغاز و به

نقطه‌ی اولیه ختم می‌گردد:

$$U_{sys} = U_\tau U_m U_{sd} \quad (۱۹-۳)$$

بردار حالت پایه می‌شود:

$$Z_{base} = \begin{bmatrix} \theta_{base} \\ \tau_{base} \\ 1 \end{bmatrix} \quad (۲۰-۳)$$

و بردار حالت نهایی :

$$Z_{end} = \begin{bmatrix} \theta_{end} \\ \tau_{end} \\ 1 \end{bmatrix} \quad (21-3)$$

بامنظور کردن شرایط مرزی زیر:

$$\tau_{end} = 0 \quad (22-3)$$

$$\theta_{base} = 0 \quad (23-3)$$

بردارهای حالت پایه و انتهایی خواهند شد:

$$Z_{base} = \begin{bmatrix} 0 \\ \tau_{base} \\ 1 \end{bmatrix} \quad (24-3)$$

$$Z_{end} = \begin{bmatrix} \theta_{end} \\ 0 \\ 1 \end{bmatrix} \quad (25-3)$$

با معلوم بودن U_{sys} :

$$Z_{end} = U_{sys} Z_{base} \quad (26-3)$$

می توان U_{sys} را به شکل زیر بازنویسی کرد:

$$U_{sys} = \begin{bmatrix} U_{11} & U_{12} & U_{13} \\ U_{21} & U_{22} & U_{23} \\ U_{31} & U_{32} & U_{33} \end{bmatrix} \quad (27-3)$$

با منظور کردن Z_{end} ، Z_{base} و U_{sys} در معادله (۲۶-۳):

$$\begin{bmatrix} \theta_{end} \\ 0 \\ 1 \end{bmatrix} = \begin{bmatrix} U_{11} & U_{12} & U_{13} \\ U_{21} & U_{22} & U_{23} \\ U_{31} & U_{32} & U_{33} \end{bmatrix} \begin{bmatrix} 0 \\ \tau_{base} \\ 1 \end{bmatrix} \quad (28-3)$$

θ_{end} و τ_{base} در سطر دوم معادله ی اخیر مجهول اند.

$$U_{22}\tau_{base} + U_{23} = 0 \quad (29-3)$$

بردار حالت پایه خواهد شد:

$$Z_{base} = \begin{bmatrix} 0 \\ \frac{-U_{23}}{U_{22}} \\ 1 \end{bmatrix} \quad (30-3)$$

با تعیین Z_{base} بردار حالت هر نقطه در سیستم قابل محاسبه است .

بردار حالت برای نقطه‌ی دو:

$$Z_2 = Z_m = U_f U_m U_{sd} Z_{base} \quad (31-3)$$

و بردار حالت نقطه‌ی یک:

$$Z_1 = U_{sd} Z_{base} \quad (32-3)$$

حالا با دراختیار داشتن شرایط ورودی یعنی θ_0 و $\dot{\theta}_0$ می‌توان جابجایی سیستم را در طول زمان به همراه یک خروجی در قلمرو زمان به دست آورد.

۳-۲- انتگرال گیری عددی و روش‌ها

بیشتر معادلات دیفرانسیل زمانی پاسخ دقیقی ندارند بنابراین روش انتگرال گیری عددی راهی مناسب برای به دست آوردن پاسخ با دقت قابل قبول است. دو نوع انتگرال گیری عددی وجود دارد: صریح^۹ و ضمنی^{۱۰}.

۳-۲-۱- روش صریح

روش صریح روشی مستقیم است بدین معنی که θ_{n+1} با دراختیار داشتن θ_n محاسبه می‌شود. برای درک بهتر، مثال ساده‌ی زیر آورده می‌شود:

$$\dot{\theta} = f(\theta, t) \quad (33-3)$$

با تقسیم زمان به N گام ، Δt برابر با گام زمانی شده و معادله‌ی (۳-۳۳) به شکل زیر بازنویسی می‌گردد:

$$\dot{\theta}_n = f(\theta_n, t_n) \quad (۳-۳۴)$$

با استفاده از تعریف مشتق در گام زمانی n :

$$\dot{\theta}_n = \frac{\theta_{n+1} - \theta_n}{\Delta t} \quad (۳-۳۵)$$

با منظور کردن آن در معادله‌ی (۳-۳۴):

$$\frac{\theta_{n+1} - \theta_n}{\Delta t} = f(\theta_n, t_n) \quad (۳-۳۶)$$

$$\theta_{n+1} = \theta_n + \Delta t f(\theta_n, t_n) \quad (۳-۳۷)$$

پس θ_{n+1} با داشتن θ_n قابل محاسبه است. این بدین معناست که با داشتن شرایط ورودی θ و $\dot{\theta}$ یک پاسخ با تقریب خوب در زمان t قابل محاسبه است.

۳-۲-۲- روش ضمنی

روش ضمنی روشی بازگشتی است که تفاوت آن با روش صریح در تعریف مشتق بکاررفته است. با فرض اینکه مشتق در گام n به شکل زیر تعریف شود:

$$\dot{\theta}_n = \frac{\theta_n - \theta_{n-1}}{\Delta t} \quad (۳-۳۸)$$

پس نتیجه می‌شود :

$$\frac{\theta_n - \theta_{n-1}}{\Delta t} = f(\theta_n, t_n) \quad (۳-۳۹)$$

$$\theta_n = \theta_{n-1} + \Delta t f(\theta_n, t_n) \quad (۳-۴۰)$$

با افزایش زیرنویس‌ها به اندازه‌ی یک واحد معادله‌ی زیر برای θ_{n+1} به دست می‌آید:

$$\theta_{n+1} = \theta_n + \Delta t f(\theta_{n+1}, t_{n+1}) \quad (41-3)$$

پس برای محاسبه‌ی θ_{n+1} در هر گام معادله‌ی (41-3) باید حل گردد.

۳-۳- روش‌های انتگرال‌گیری عددی در روش ماتریس انتقال گسسته

پنج روش انتگرال‌گیری عددی به‌منظور استفاده در روش ماتریس انتقال گسسته بدین شرحند:

۱. فاکس- اویلر
۲. ویلسون تتا
۳. نیومارک بتا
۴. هوبولت
۵. روش پیشنهادی

۳-۳-۱- روش فاکس - اویلر [۱۲]

در میان روش‌های ارائه شده روش فاکس اویلر را می‌توان ساده‌ترین مورد دانست. در این روش، فرض بر ثابت بودن شتاب یعنی $\ddot{\theta}_n$ در طول هر گام زمانی است که برابر با شتاب نقطه‌ی پایانی در گام زمانی مربوطه فرض می‌شود. در این روش از بسط تیلور استفاده شده است. با فرض ثبات شتاب، تنها تا جمله‌ی سوم این بسط، عبارت‌ها غیر صفر خواهند بود. بسط تیلور بدین قرار است:

$$\theta(t_i) = \theta(t_{i-1}) + \Delta T \dot{\theta}(t_{i-1}) + \frac{\Delta T^2}{2} \ddot{\theta}(t_i) \quad (42-3)$$

معادله بر اساس $\ddot{\theta}(t_i)$ می‌شود:

$$\ddot{\theta}(t_i) = \frac{2}{\Delta T^2} [\theta(t_i) - \theta(t_{i-1}) - \Delta T \dot{\theta}(t_{i-1})] \quad (43-3)$$

اینک لازم است معادله‌ی (43-3) به شکل مطلوب درآورده شود:

$$\ddot{\theta}_n(t_i) = A_n(t_i) \theta_n(t_i) + B_n(t_i) \quad (44-3)$$

بدین ترتیب معادله‌ی (۳-۴۴) به شکل زیر بازنویسی می‌شود:

$$\ddot{\theta}(t_i) = \frac{2}{\Delta T^2} \theta(t_i) - \frac{2}{\Delta T^2} [\theta(t_{i-1}) + \Delta T \dot{\theta}(t_{i-1})] \quad (۳-۴۵)$$

از این معادله دو ضریب A_n و B_n برای روش ماتریس انتقال گسسته به دست می‌آیند.

ضرایب D_n و E_n نیز در معادله‌ی سرعت ظاهر می‌شوند. معادله‌ی (۳-۴۶) معادله‌ی سرعت دورانی

است در حالتی که شتاب ثابت باشد:

$$\dot{\theta}(t_i) = \ddot{\theta}(t_i) \Delta T + \dot{\theta}(t_{i-1}) \quad (۳-۴۶)$$

با افزودن معادله‌ی (۳-۴۵) به (۳-۴۶):

$$\dot{\theta}(t_i) = \frac{2}{\Delta T} \theta(t_i) - \frac{2}{\Delta T} [\theta(t_{i-1}) + \Delta T \dot{\theta}(t_{i-1})] + \dot{\theta}(t_{i-1}) \quad (۳-۴۷)$$

معادله‌ی خطی شده سرعت:

$$\dot{\theta}_n(t_i) = D_n(t_i) \theta_n(t_i) + E_n(t_i) \quad (۳-۴۸)$$

با تطبیق معادله‌های (۳-۴۷) و (۳-۴۸) نتیجه می‌شود:

$$\dot{\theta}(t_i) = \frac{2}{\Delta T} \theta(t_i) - \left[\frac{2}{\Delta T} \theta(t_{i-1}) + \dot{\theta}(t_{i-1}) \right] \quad (۳-۴۹)$$

بر این اساس ضرایب خطی سازی در این روش خواهند شد:

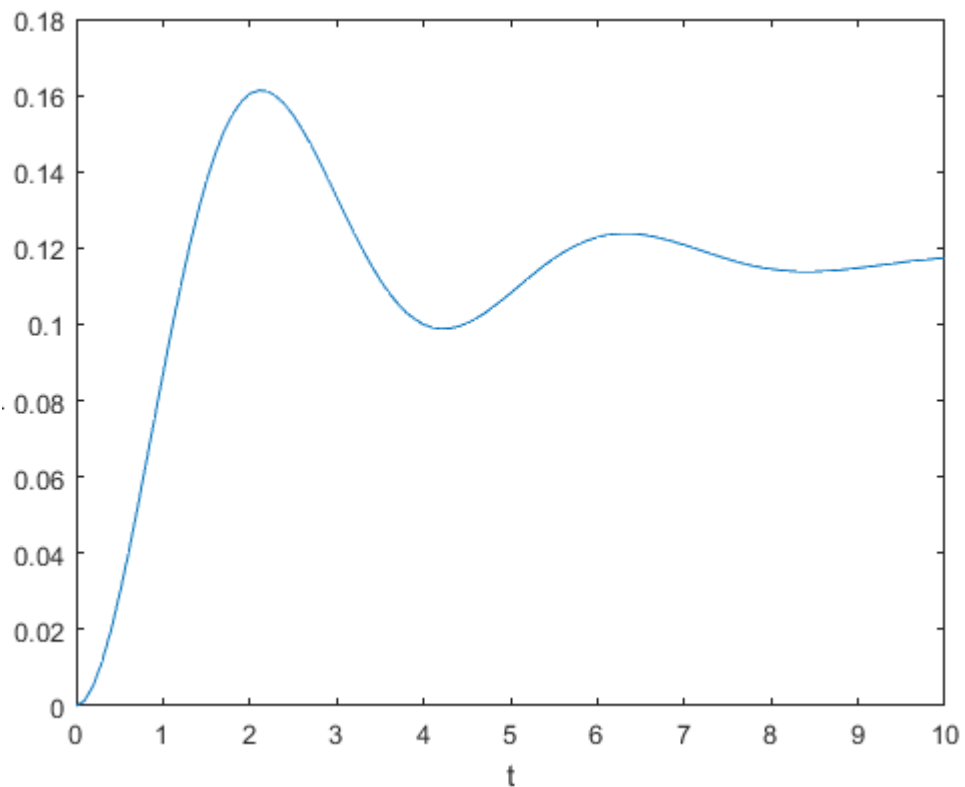
جدول (۳-۱): ضرایب روش فاکس اوپلر

$A_n(t_i)$	$\frac{2}{\Delta T^2}$
$B_n(t_i)$	$-\frac{2}{\Delta T^2} [\theta(t_{i-1}) + \Delta T \dot{\theta}(t_{i-1})]$
$D_n(t_i)$	$\frac{2}{\Delta T}$
$E_n(t_i)$	$-\left[\frac{2}{\Delta T} \theta(t_{i-1}) + \dot{\theta}(t_{i-1}) \right]$

با مقادیر فرضی زیر برای سیستم دو درجه آزادی بیان شده نمودار حاصل به کمک نرم افزار متلب به دست می آید. این مقادیر برای هر پنج روش یکسانند.

جدول (۳-۲) : مقادیر اعمال شده در نمونه

جرم	M(kg)	[5,5]
فنریت	K(N/m)	[20,20]
میرایی	C(N/m ²)	[5,5]
گشتاور	τ (N.M)	[0,1]



شکل (۳-۱) : نمودار روش فاکس-اولر

۲-۳-۳ روش نیومارک بتا [۱۲]

در روش فاکس اوایلر فرض بر ثابت بودن شتاب بود. در روش نیومارک- بتا، شتاب‌های زاویه‌ای تغییراتی دارند البته به شکل خطی.

پارامترهای β و γ در این روش ضرایب جمله‌ی مرتبه‌ی سوم بسط تیلور هستند که می‌توانند برای دریافت پاسخ بهتر تغییر نمایند. سری تیلور برای θ_{i+1} این بار تا مشتق مرتبه‌ی سوم نوشته می‌شود:

$$\theta(t_{i+1}) = \theta(t_i) + \Delta T \dot{\theta}(t_i) + \frac{\Delta T^2}{2} \ddot{\theta}(t_i) + \frac{\Delta T^3}{6} \ddot{\theta}(t_i) \quad (50-3)$$

$$\dot{\theta}(t_{i+1}) = \dot{\theta}(t_i) + \Delta T \ddot{\theta}(t_i) + \frac{\Delta T^2}{2} \ddot{\theta}(t_i)$$

γ و β به ترتیب در معادله براساس دوران و سرعت زاویه‌ای ظاهر می‌گردند:

$$\theta(t_{i+1}) = \theta(t_i) + \Delta T \dot{\theta}(t_i) + \frac{\Delta T^2}{2} \ddot{\theta}(t_i) + (\beta \Delta T^3) \ddot{\theta}(t_i) \quad (51-3)$$

$$\dot{\theta}(t_{i+1}) = \dot{\theta}(t_i) + \Delta T \ddot{\theta}(t_i) + (\gamma \Delta T^2) \ddot{\theta}(t_i) \quad (52-3)$$

با فرض اینکه شتاب بین گام‌ها بطور خطی تغییر کند:

$$\ddot{\theta}(t_i) = \frac{\ddot{\theta}(t_{i+1}) - \ddot{\theta}(t_i)}{\Delta T} \quad (53-3)$$

حال با منظور کردن معادله‌ی (۵۳-۳) در معادله‌های (۵۱-۳) و (۵۲-۳):

$$\theta(t_{i+1}) = \theta(t_i) + \Delta T \dot{\theta}(t_i) + (0.5 - \beta) \Delta T^2 \ddot{\theta}(t_i) + \beta \Delta T^2 \ddot{\theta}(t_{i+1}) \quad (54-3)$$

$$\dot{\theta}(t_{i+1}) = \dot{\theta}(t_i) + (1 - \gamma) \Delta T \ddot{\theta}(t_i) + \gamma \Delta T \ddot{\theta}(t_{i+1}) \quad (55-3)$$

معادله‌های (۵۴-۳) و (۵۵-۳) برای محاسبه سرعت و شتاب به شکل زیر در می‌آیند:

$$\ddot{\theta}(t_{i+1}) = \left(\frac{1}{\beta\Delta T^2}\right)(\theta(t_{i+1}) - \theta(t_i)) - \left(\frac{1}{\beta\Delta T}\right)\dot{\theta}(t_i) - \left(\frac{1}{2\beta} - 1\right)\ddot{\theta}(t_i) \quad (۵۶-۳)$$

$$\dot{\theta}(t_{i+1}) = \left(\frac{1}{\beta\Delta T}\right)(\theta(t_{i+1}) - \theta(t_i)) - \left(\frac{\gamma}{\beta} - 1\right)\dot{\theta}(t_i) - \Delta T\left(\frac{\gamma}{2\beta} - 1\right)\ddot{\theta}(t_i) \quad (۵۷-۳)$$

در ادامه برای استفاده از روش نیومارک_بتا در روش ماتریس انتقال گسسته:

$$\ddot{\theta}(t_{i+1}) = \left(\frac{1}{\beta\Delta T^2}\right)\theta(t_{i+1}) - \left(\frac{1}{\beta\Delta T^2}\right)(\theta(t_i) + \Delta T\dot{\theta}(t_i) + (0.5 - \beta)\Delta T^2\ddot{\theta}(t_i)) \quad (۵۸-۳)$$

$$\dot{\theta}(t_{i+1}) = \left(\frac{\gamma}{\beta\Delta T}\right)\theta(t_{i+1}) + \dot{\theta}(t_i) + \Delta T[(1 - \gamma)\ddot{\theta}(t_i) + \gamma B] \quad (۵۹-۳)$$

در نهایت ضرایب در آن به شرح زیر به دست می‌آیند:

جدول (۳-۳) : ضرایب روش نیومارک بتا

$A_n(t_i)$	$\frac{2}{\beta\Delta T^2}$
$B_n(t_i)$	$-\frac{2}{\beta\Delta T^2} [\theta(t_{i-1}) + \Delta T\dot{\theta}(t_{i-1}) + (0.5 - \beta)\Delta T^2\ddot{\theta}(t_{i-1})]$
$D_n(t_i)$	$\frac{\gamma}{\beta\Delta T}$
$E_n(t_i)$	$\dot{\theta}(t_{i-1}) + \Delta T[(1 - \gamma)\ddot{\theta}(t_{i-1}) + \gamma B_n]$

β و γ بر اساس دقت مورد نیاز و پایداری سیستم قابل تغییرند. مانند موارد زیر:

۱- $\beta = \frac{1}{6}, \gamma = 0.5$ بدین معناست که شتاب در هر گام به شکل خطی تغییر می‌کند.

۲- $\beta = 0, \gamma = 0.5$ در این حالت شتاب ثابت و برابر مقدارش در نقطه ابتدایی هر

گام است.

۳- $\beta = \frac{1}{8}, \gamma = 0.5$ که در آن شتاب ثابت و برابر مقدارش در ابتدای گام و وسط

بازه زمانی $(\ddot{\theta}(t_i) : t_{i+1} - t_i + \frac{\Delta T}{2})$ و سپس تغییر می‌کند به شتاب نقطه پایانی

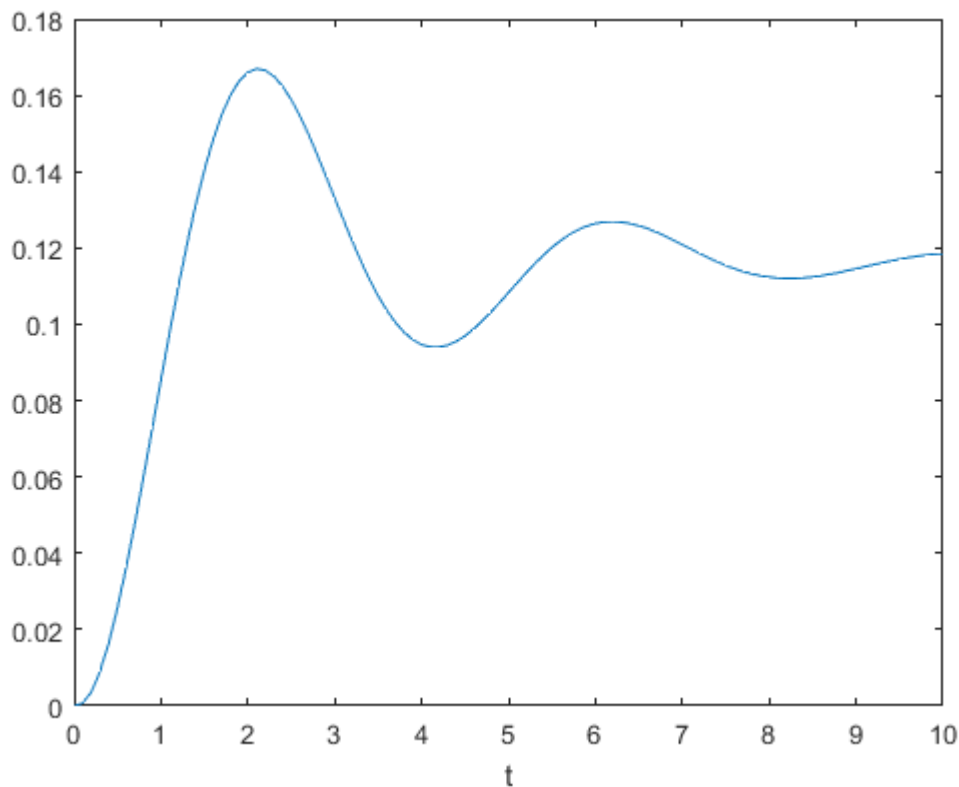
$$(\ddot{\theta}(t_{i+1}) : t_i + \frac{\Delta T}{2} - t_{i+1})$$

۴- $\beta = \frac{1}{4}, \gamma = 0.5$ بدین معناست که شتاب ثابت فرض می‌شود و برابر است با

$$\frac{\ddot{\theta}(t_{i+1}) + \ddot{\theta}(t_i)}{2}$$

میانگین شتاب در نقاط ابتدا و انتها گام یعنی $(\frac{\ddot{\theta}(t_{i+1}) + \ddot{\theta}(t_i)}{2})$.

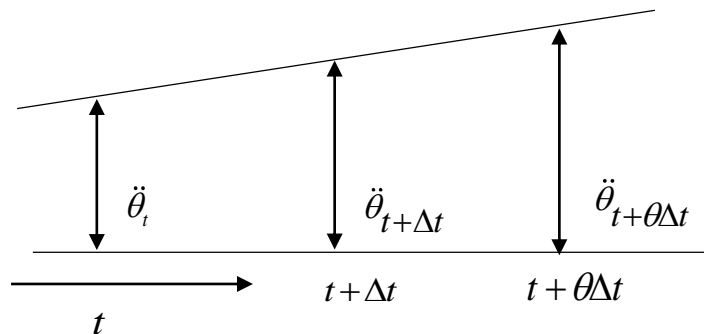
پاسخ های سیستم دو درجه آزادی بر پایه‌ی روش نیومارک-بتا در روش ماتریس انتقال گسسته با مقادیر مختلف β در مقایسه بایکدیگر بسیار به هم نزدیکند. ولی در سیستم‌های پیچیده‌تر، کمی از دقت آنها کاسته می‌شود.



شکل (۳-۲): نمودار روش نیومارک بتا

۳-۳-۳- روش ویلسون تا [۱۲]

روش ویلسون تا بر اساس تغییرات خطی شتاب نسبت به زمان تعریف گردیده است. در این روش دیگر از بسط تیلور استفاده نشده است. شکل زیر تغییر خطی شتاب را از زمان t تا $t + \theta\Delta T$ وقتی که $\theta \geq 1$ نشان می‌دهد:



شکل (۳-۳): تعریف شتاب در روش ویلسون تا

از زمان t تا $t + \theta\Delta T$:

$$\ddot{\theta}_{t+\tau} = \ddot{\theta}_t + \frac{\tau}{\theta\Delta T} (\ddot{\theta}_{t+\theta\Delta T} - \ddot{\theta}_t) \quad (۳-۶۰)$$

با انتگرال‌گیری از این معادله سرعت و جابجایی سیستم قابل استخراج است:

$$\dot{\theta}_{t+\tau} = \dot{\theta}_t + \ddot{\theta}_t \tau + \frac{\tau^2}{2\theta\Delta T} (\ddot{\theta}_{t+\theta\Delta T} - \ddot{\theta}_t) \quad (۳-۶۱)$$

$$\theta_{t+\tau} = \theta_t + \dot{\theta}_t \tau + \frac{1}{2} \ddot{\theta}_t \tau^2 + \frac{\tau^3}{6\theta\Delta T} (\ddot{\theta}_{t+\theta\Delta T} - \ddot{\theta}_t) \quad (۳-۶۲)$$

با قرار دادن $\tau = \theta\Delta T$:

$$\dot{\theta}_{t+\theta\Delta T} = \dot{\theta}_t + \frac{\theta\Delta T}{2} (\ddot{\theta}_t + \ddot{\theta}_{t+\theta\Delta T}) \quad (۳-۶۳)$$

$$\theta_{t+\theta\Delta T} = \theta_t + \theta\Delta T \dot{\theta}_t + \frac{\theta^2 \Delta T^2}{6} (2\ddot{\theta}_t + \ddot{\theta}_{t+\theta\Delta T}) \quad (۳-۶۴)$$

که با مرتب سازی خواهد شد:

$$\ddot{\theta}_{t+\theta\Delta T} = \frac{6}{\theta^2\Delta T^2} \theta_{t+\theta\Delta T} - \frac{6}{\theta^2\Delta T^2} \theta_t - \frac{6}{\theta\Delta T} \dot{\theta}_t - 2\ddot{\theta}_t \quad (۶۵-۳)$$

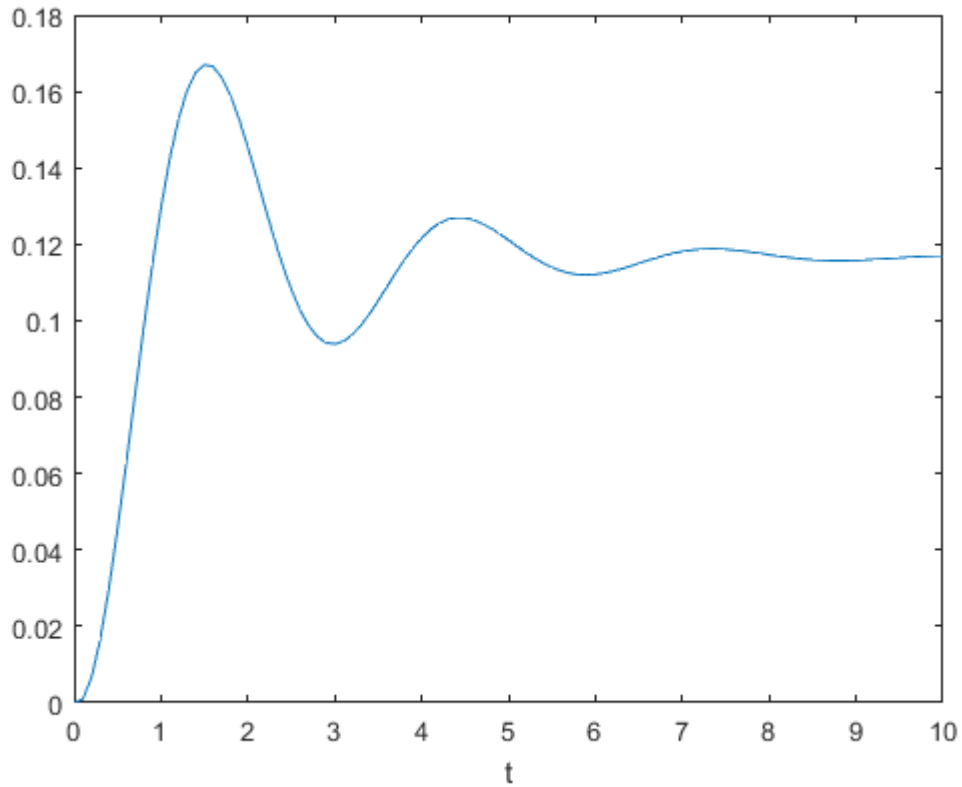
$$\dot{\theta}_{t+\theta\Delta T} = \frac{3}{\theta\Delta T} \theta_{t+\theta\Delta T} - \frac{3}{\theta\Delta T} \theta_t - \frac{\theta\Delta T}{2} \ddot{\theta}_t - 2\dot{\theta}_t \quad (۶۶-۳)$$

بدین ترتیب ضرایب این روش به دست می آیند:

جدول (۳-۴) : ضرایب روش ویلسون تتا

$A_n(t_i)$	$\frac{2}{\Delta T^2}$
$B_n(t_i)$	$-\frac{6}{(\theta\Delta T)^2} [\theta(t_{i-1}) + \theta\Delta T\dot{\theta}(t_{i-1}) + \frac{(\theta\Delta T)^2}{3} \ddot{\theta}(t_{i-1})]$
$D_n(t_i)$	$\frac{3}{\theta\Delta T}$
$E_n(t_i)$	$-\frac{3}{\theta\Delta T} [\theta(t_{i-1}) + \frac{2\theta\Delta T}{3} \dot{\theta}(t_{i-1}) + \frac{(\theta\Delta T)^2}{3} \ddot{\theta}(t_{i-1})]$

هنگامی که $\theta = 1$ است، روش ویلسون تتا برابر با روش نیومارک بتا در حالت $\beta = \frac{1}{6}$ و $\gamma = 0.5$ است



شکل (۳-۴) : نمودار روش ویلسون تنها

۳-۳-۴- روش هوبولت [۱۲]

روش هوبولت یک روش ضمنی است که مقدار دوران دوگام قبلی در آن موردنیاز است. معادلات زیر از سری تیلور گرفته شده‌اند:

$$\theta_t = \theta_{t+\Delta T} - \Delta T \dot{\theta}_{t+\Delta T} + \frac{\Delta T^2}{2} \ddot{\theta}_{t+\Delta T} - \frac{\Delta T^3}{6} \ddot{\theta}_{t+\Delta T} \quad (۶۷-۳)$$

$$\theta_{t-\Delta T} = \theta_{t+\Delta T} - 2\Delta T \dot{\theta}_{t+\Delta T} + \frac{(2\Delta T)^2}{2} \ddot{\theta}_{t+\Delta T} - \frac{(2\Delta T)^3}{6} \ddot{\theta}_{t+\Delta T} \quad (۶۸-۳)$$

$$\theta_{t-2\Delta T} = \theta_{t+\Delta T} - 3\Delta T \dot{\theta}_{t+\Delta T} + \frac{(3\Delta T)^2}{2} \ddot{\theta}_{t+\Delta T} - \frac{(3\Delta T)^3}{6} \ddot{\theta}_{t+\Delta T} \quad (۶۹-۳)$$

با خارج کردن عبارتهای سرعت و شتاب از معادلات (۳-۶۷) تا (۳-۶۹)، خواهیم داشت :

$$\dot{\theta}_{t+\Delta T} = \frac{1}{6\Delta T} (11\theta_{t+\Delta T} - 18\theta_t + 9\theta_{t-\Delta T} - 2\theta_{t-2\Delta T}) \quad (۳-۷۰)$$

$$\ddot{\theta}_{t+\Delta T} = \frac{1}{\Delta T^2} (2\theta_{t+\Delta T} - 5\theta_t + 4\theta_{t-\Delta T} - \theta_{t-2\Delta T}) \quad (۳-۷۱)$$

بدین ترتیب در حالتی که $i = 1$ باشد ضرایب این روش به شرح زیر می گردند :

جدول (۳-۵) : ضرایب روش هوبولت در $i = 1$

$A_n(t_i)$	$\frac{6}{\Delta T^2}$
$B_n(t_i)$	$-\frac{2}{\Delta T^2} [3\theta(t_{i-1}) + 3\Delta T \dot{\theta}(t_{i-1}) + \Delta T^2 \ddot{\theta}(t_{i-1})]$
$D_n(t_i)$	$\frac{3}{\Delta T}$
$E_n(t_i)$	$-\frac{1}{2\Delta T} [6\theta(t_{i-1}) + 4\dot{\theta}(t_{i-1})\Delta t + \Delta T^2 \ddot{\theta}(t_{i-1})]$

در حالت $i = 2$:

جدول (۳-۶) : ضرایب روش هوبولت در $i = 2$

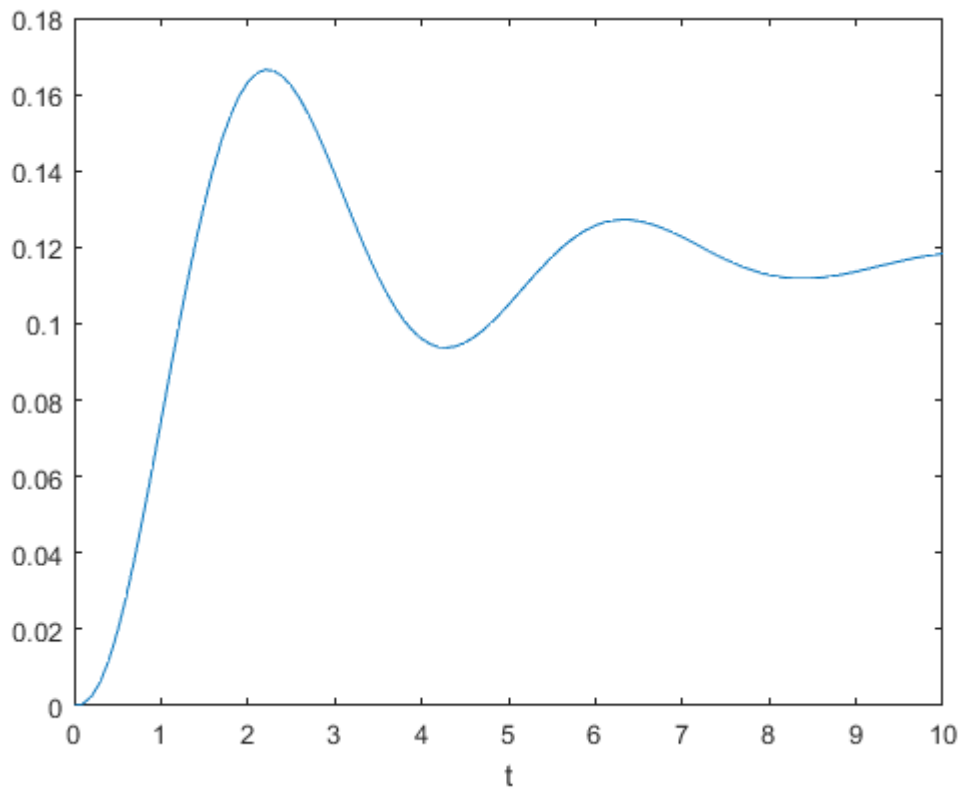
$A_n(t_i)$	$\frac{2}{\Delta T^2}$
$B_n(t_i)$	$-\frac{1}{\Delta T^2} [4\theta(t_{i-1}) - 2\theta(t_{i-2}) + 2\Delta T^2 \ddot{\theta}(t_{i-2})]$
$D_n(t_i)$	$\frac{11}{6\Delta T}$
$E_n(t_i)$	$-\frac{1}{6\Delta T} [16\theta(t_{i-1}) - 5\theta(t_{i-2}) + \Delta T^2 \ddot{\theta}(t_{i-2})]$

و برای حالت $i \geq 3$:

جدول (۷-۳) : ضرایب روش هوبولت در $i \geq 3$

$A_n(t_i)$	$\frac{2}{\Delta T^2}$
$B_n(t_i)$	$-\frac{1}{\Delta T^2}[5\theta(t_{i-1}) - 4\theta(t_{i-2}) + \theta(t_{i-3})]$
$D_n(t_i)$	$\frac{11}{6\Delta T}$
$E_n(t_i)$	$-\frac{1}{6\Delta T}[18\theta(t_{i-1}) - 9\theta(t_{i-2}) + 2\theta(t_{i-3})]$

و نمودار این روش خواهد شد:



شکل (۵-۳) : نمودار روش هوبولت

در مقایسه این چهار روش یک سیستم بزرگ ۱۵ درجه آزادی توسط اساتید سنکار و کومار بررسی شدند [۱۲]. این سیستم شامل جرم و فنر و بدون دمپر بود.

دقیق‌ترین پاسخ به روش نیومارک تعلق گرفت. در مورد مناسب‌ترین β و γ هم می‌توان گفت در

هنگامی به دست می‌آید که $\beta = \frac{1}{8}$ باشد. در آن حالت شتاب ثابت و برابر مقدار نقطه‌ی آغازین در هر

بازه‌ی زمانی است یعنی: $(\ddot{\theta}(t_i): t_i - t_i + \frac{\Delta T}{2})$ و در ادامه تا شتاب نقطه‌ی پایانی

$(\ddot{\theta}(t_{i+1}): t_i + \frac{\Delta T}{2} - t_{i+1})$ بهترین نتیجه را می‌دهد.

۳-۳-۵- روش پیشنهادی [۱۳]

تمامی چهار روش بیان شده ابداع سال‌های پیش از دهه‌ی نود میلادی هستند. اینک به روشی جدید

در خطی‌سازی پرداخته می‌شود. بسط تیلور برای دوران و سرعت زاویه‌ای بازنویسی می‌شود $[\alpha = \ddot{\theta}]$:

$$\theta(t_{i+1}) = \theta(t_i) + \Delta T \dot{\theta}(t_i) + \frac{\Delta T^2}{2} \alpha(t_i) + \frac{\Delta T^3}{6} \dot{\alpha}(t_i)$$

$$\dot{\theta}(t_{i+1}) = \dot{\theta}(t_i) + \Delta T \alpha(t_i) + \frac{\Delta T^2}{2} \dot{\alpha}(t_i)$$

حال بر اساس تعریف مشتق برای $\dot{\alpha}(t_i)$:

$$\dot{\alpha}(t_i) = \frac{\alpha(t_{i+1}) - \alpha(t_{i-1}))}{2\Delta T} \quad (72-3)$$

نتیجه می‌شود:

$$\dot{\theta}(t_{i+1}) = \dot{\theta}(t_i) + \lambda_1 \alpha(t_i) \Delta T + \frac{\beta_1}{4} \alpha(t_{i+1}) \Delta T - \frac{\gamma_1}{4} \alpha(t_{i-1}) \Delta T \quad (73-3)$$

$$\theta(t_{i+1}) = \theta(t_i) + \dot{\theta}(t_i) \Delta T + \frac{\lambda_2}{2} \alpha(t_i) \Delta T^2 + \frac{\beta_2}{12} \alpha(t_{i+1}) \Delta T^2 - \frac{\gamma_2}{12} \alpha(t_{i-1}) \Delta T^2 \quad (74-3)$$

ضرایب λ ، β و γ به منظور بالا بردن دقت پاسخ در معادله‌ی پایانی، قرار داده شده‌اند که مقدار آنها در

ادامه‌ی کار تعیین می‌گردند.

بسط تیلور در مورد $\alpha(t_{n+1})$ و $\alpha(t_{n-1})$:

$$\alpha(t_{i-1}) = \alpha(t_i) - \dot{\alpha}(t_i)\Delta t + \frac{1}{2}\ddot{\alpha}(t_i)\Delta t^2 - \frac{1}{6}\dddot{\alpha}(t_i)\Delta t^3 \quad (۷۵-۳)$$

$$\alpha(t_{i+1}) = \alpha(t_i) + \dot{\alpha}(t_i)\Delta t + \frac{1}{2}\ddot{\alpha}(t_i)\Delta t^2 + \frac{1}{6}\dddot{\alpha}(t_i)\Delta t^3 \quad (۷۶-۳)$$

حال با قرار دادن آنها در رابطه‌های (۷۲-۳) و (۷۳-۳) نتیجه می‌شود:

$$\begin{aligned} \dot{\theta}(t_{i+1}) = & \dot{\theta}(t_i) + \left(\lambda_1 + \frac{\beta_1}{4} - \frac{\gamma_1}{4}\right)\alpha(t_i)\Delta t + \left(\frac{\beta_1 + \gamma_1}{4}\right)\dot{\alpha}(t_i)\Delta t^2 + \left(\frac{\beta_1 - \gamma_1}{8}\right)\ddot{\alpha}(t_i)\Delta t^3 \\ & + \frac{(\beta_1 + \gamma_1)}{24}\dddot{\alpha}(t_i)\Delta t^4 + \dots \end{aligned} \quad (۷۷-۳)$$

$$\begin{aligned} \theta(t_{i+1}) = & \theta(t_i) + \dot{\theta}(t_i)\Delta t + \left(\frac{\lambda_2}{2} + \frac{\beta_2}{12} - \frac{\gamma_2}{12}\right)\alpha(t_i)\Delta t^2 + \left(\frac{\beta_2 + \gamma_2}{12}\right)\dot{\alpha}(t_i)\Delta t^3 \\ & + \frac{(\beta_2 - \gamma_2)}{24}\ddot{\alpha}(t_i)\Delta t^4 + \frac{(\beta_2 + \gamma_2)}{72}\dddot{\alpha}(t_i)\Delta t^5 + \dots \end{aligned} \quad (۷۸-۳)$$

با تطابق دو معادله‌ی (۷۷-۳) و (۷۸-۳) با معادله‌های (۵۰-۳) روابط زیر بین ضرایب اضافه شده

بدست می‌آیند :

$$\begin{aligned} \lambda_1 &= \frac{1 + \gamma_1}{2} \\ \beta_1 &= 2 - \gamma_1 \\ \lambda_2 &= \frac{2 + \gamma_2}{3} \\ \beta_2 &= 2 - \gamma_2 \end{aligned} \quad (۷۹-۳)$$

با اعمال این ضریب‌ها در معادله‌های (۵۰-۳) و (۷۶-۳) نتیجه خواهد شد :

$$\dot{\theta}(t_{i+1}) = \dot{\theta}(t_i) + \left(\frac{1 + \gamma_1}{2}\right)\alpha(t_i)\Delta t + \left(\frac{2 - \gamma_1}{4}\right)\alpha(t_{i+1})\Delta t - \frac{\gamma_1}{4}\alpha(t_{i-1})\Delta t \quad (۸۰-۳)$$

$$\theta(t_{i+1}) = \theta(t_i) + \dot{\theta}(t_i)\Delta t + \left(\frac{2 + \gamma_2}{6}\right)\alpha(t_i)\Delta t^2 + \left(\frac{2 - \gamma_2}{12}\right)\alpha(t_{i+1})\Delta t^2 - \frac{\gamma_2}{12}\alpha(t_{i-1})\Delta t^2 \quad (۸۱-۳)$$

حال بار دیگر بسط تیلور $\alpha(t_{n+1})$ و $\alpha(t_{n-1})$ اعمال می‌شوند:

$$\begin{aligned} \dot{\theta}(t_{i+1}) = & \dot{\theta}(t_i) + \alpha(t_i)\Delta t + \frac{1}{2}\dot{\alpha}(t_i)(\Delta t)^2 + \frac{1}{4}(1 - \gamma_1)\ddot{\alpha}(t_i)(\Delta t)^3 \\ & + \frac{1}{12}\dddot{\alpha}(t_i)(\Delta t)^4 + o(\Delta t)^5 + \dots \end{aligned} \quad (۸۲-۳)$$

$$\theta(t_{i+1}) = \theta(t_i) + \dot{\theta}(t_i)\Delta t + \frac{1}{2}\alpha(t_i)(\Delta t)^2 + \frac{1}{6}\dot{\alpha}(t_i)(\Delta t)^3 + \frac{1}{12}(1-\gamma_2)\ddot{\alpha}(t_i)(\Delta t)^4 + \frac{1}{36}\ddot{\alpha}(t_i)(\Delta t)^5 + o(\Delta t)^6 + \dots \quad (83-3)$$

واضح است که صحت روش به دو ضریب مستقل γ_1 و γ_2 بستگی دارد. مقایسه‌ی بسط تیلور $\dot{\theta}(t_{i+1})$ و $\theta(t_{i+1})$ یعنی معادلات (3-50) تا یک مرتبه‌ی بالاتر با معادلات (3-82) و (3-83) ما را به مقدار خطای کلی هدایت می‌کند:

$$E[\dot{\theta}(t_{i+1})] = \frac{1}{4}\left(\frac{1}{3} - \gamma_1\right)\ddot{\alpha}(t_i)(\Delta t)^3 + o(\Delta t)^4 \quad (84-3)$$

$$E[\theta(t_{i+1})] = \frac{1}{12}\left(\frac{1}{2} - \gamma_2\right)\ddot{\alpha}(t_i)(\Delta t)^4 + o(\Delta t)^5$$

حال اگر $\gamma_1 = \frac{1}{3}$ و $\gamma_2 = \frac{1}{2}$ باشد مقدار خطا در هر مورد دوران و سرعت از مرتبه‌ی چهار خواهد بود

که سه مرتبه بالاتر از روش‌های نیومارک بتا و ویلسون تتا است.

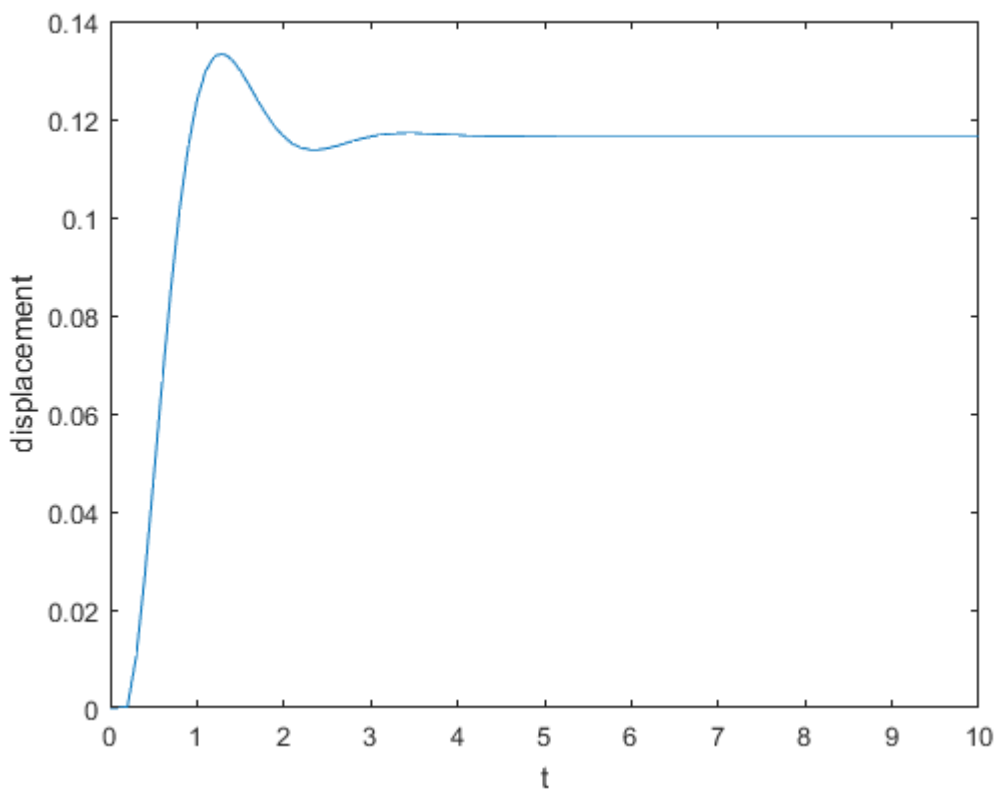
با تعیین دو مقدار γ_1 و γ_2 برای حالت ایده‌آل، مقادیر λ_1 و λ_2 و β_1 و β_2 نیز با کمک روابط (3-3) (78) به دست می‌آیند. با قرار دادن آنها در روابط (3-73) و (3-74) و استخراج روابط خطی شده‌ی شتاب و سرعت ضرایب نهایی این روش محاسبه می‌شوند.

بدین ترتیب ضرایب نهایی این روش خواهند شد:

جدول (3-8): ضرایب روش پیشنهادی

$A_n(t_i)$	$\frac{8}{\Delta T^2}$
$B_n(t_i)$	$-\frac{8}{\Delta t^2}\theta(t_{i-1}) - \frac{8}{\Delta t}\dot{\theta}(t_{i-1}) - \frac{10}{3}\ddot{\theta}(t_{i-1}) + \frac{1}{3}\ddot{\theta}(t_{i-2})$
$D_n(t_i)$	$\frac{10}{3\Delta T^2}$
$E_n(t_i)$	$-\frac{10}{3\Delta t^2}\theta(t_{i-1}) + \left(\frac{12\Delta t - 40}{12\Delta t}\right)\dot{\theta}(t_{i-1}) + \left(\frac{2}{3}\Delta t - \frac{25}{18}\right)\ddot{\theta}(t_{i-1}) + \left(\frac{5 - 3\Delta t}{36}\right)\ddot{\theta}(t_{i-2})$

نمودار این روش بدین ترتیب به دست می آید :



شکل (۳-۶) : نمودار روش پیشنهادی

نمودارهای گذشته همه در حالت دو درجه آزادی که معادلات آنها شرح داده شد، توسط نرم افزار MATLAB به دست آمدند و این شیوهی مدل سازی برای هر تعداد درجه آزادی قابل تعمیم است در صورتی که ماتریس های سختی فنر و گشتاور بطور یکسان و ماتریس جرم بطور متوازن انتخاب شده باشند.

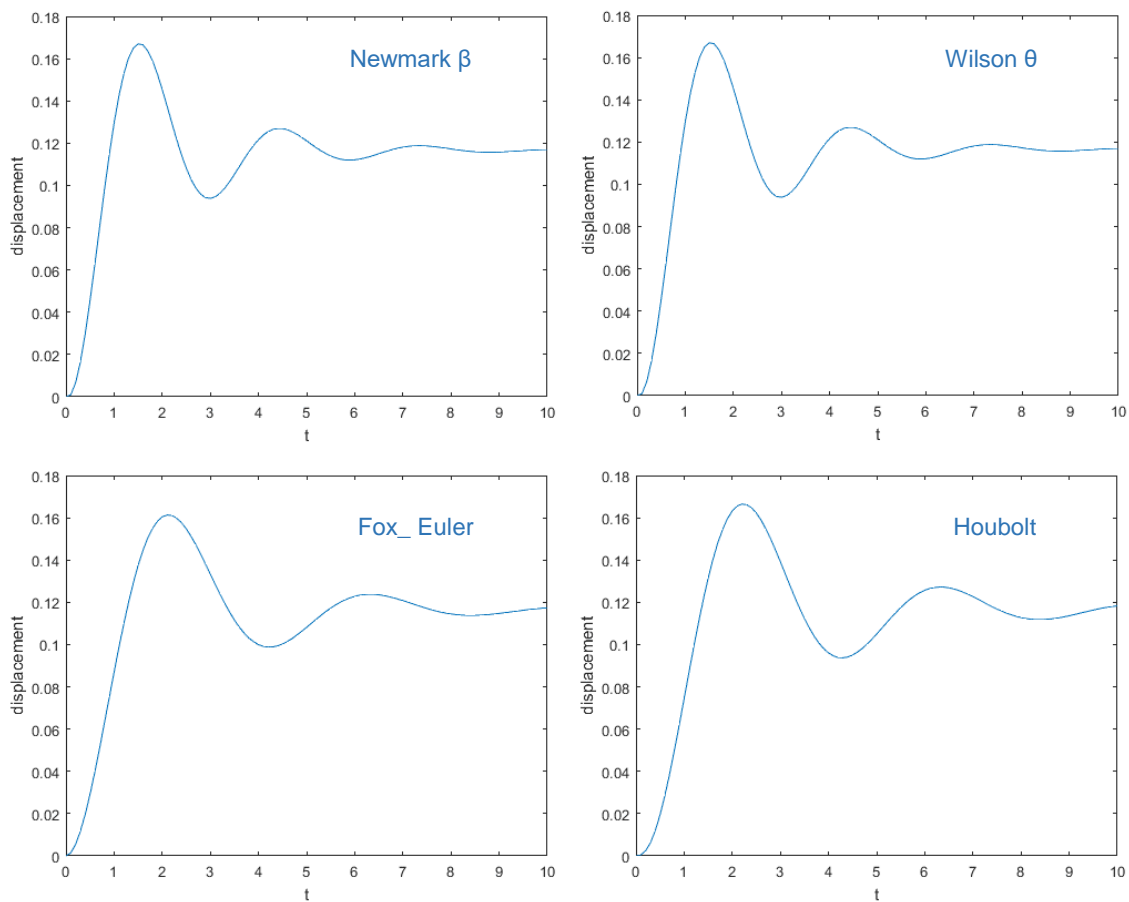
فصل چهار : نتیجه گیری

بدین ترتیب روش‌های مختلف عددی برای مدل‌سازی تیری انعطاف‌پذیر با ساختار بررسی گردید. روش‌های زیادی برای مدل‌سازی سیستم‌های دینامیکی مطرح است که هر کدام دارای مزایا و معایب خاص خود هستند.

روش ماتریس انتقال یکی از این دست روش‌هاست که در مدل‌سازی سیستم‌های بزرگ کارایی زیادی دارد. اندازه ماتریس‌ها را کاهش داده و به‌موجب آن حجم محاسبات را کاهش می‌دهد. همچنین به‌راحتی می‌توان به سیستم مورد نظر یک زیرسیستم اضافه یا کم کرد. این روش نیز مانند هر روشی محدودیت‌هایی دارد که بر کاربرد آن تأثیر منفی می‌گذارد. در این روش تنها می‌توان خروجی در قلمرو فرکانس دریافت نمود و نه پاسخ سیستم در حوزه‌ی زمان. اضافه بر آن اینکه، در استفاده از تبدیل لاپلاس، سیستم‌های غیرخطی قابل مدل شدن نیستند. برای فائق آمدن بر معایب روش ماتریس انتقال انتگرال‌گیری عددی با آن ادغام گردید. با استفاده از آن، پاسخ واقعی سیستم در طول زمان قابل دست‌یابی شد. در روش ماتریس انتقال گسسته می‌توان خروجی در قلمرو زمان داشت. همچنین سیستم‌های غیرخطی نیز به‌وسیله آن مدل می‌گردند. روش گسسته مزایای روش کلاسیک را هم حفظ می‌کند. بدین معنا که در روش ماتریس انتقال گسسته نیز، ابعاد ماتریس‌ها کوچکتر، محاسبات کمتر و انعطاف‌پذیری زیاد است. روش‌های عددی قابل ترکیب با روش کلاسیک در این تحقیق بررسی گردیدند. هر روش عددی بسته به برخی عوامل مانند گام زمانی دقت متفاوتی دارند.

چهار روش کلاسیک عددی در روش ماتریس انتقال گسسته وارد شدند که چگونگی استفاده‌ی آنها توضیح داده شد. سپس به معرفی روشی نوین پرداخته شد و با استدلال بیان شد که میزان خطای آن به مراتب از روش‌های پیشین کمتر است.

حال نتایج این پنج روش به شکل گسترده‌تر بررسی و مقایسه می‌گردند.

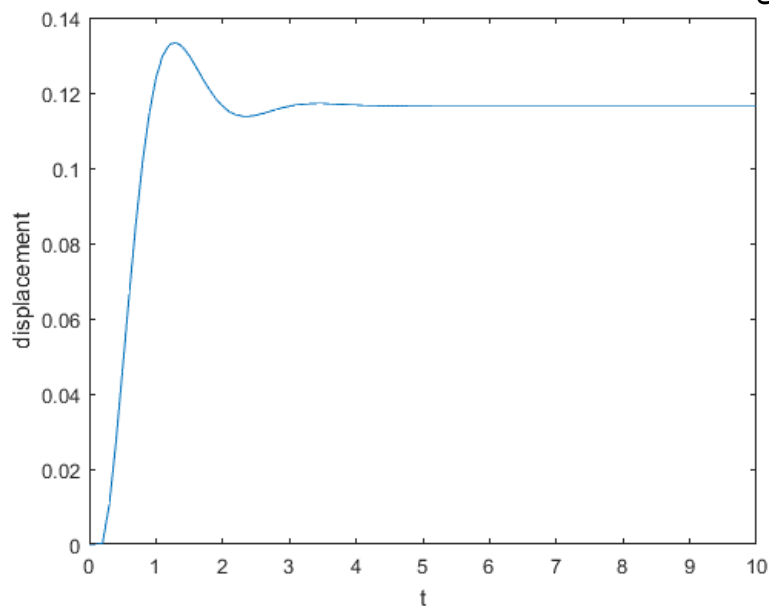


شکل (۴-۱): نمودار روش‌های کلاسیک در حالت دو درجه آزادی

در حالت دو درجه آزادی، از بین روش‌های کلاسیک روش‌های نیومارک و ویلسون نتیجه بهتری داده‌اند. در روش فاکس اوپلر شتاب در هر گام زمانی ثابت فرض شده است که این موضوع با وجود سادگی روش، در دقت نتیجه تأثیر منفی می‌گذارد اما در روش نیومارک بتا با وارد شدن دو متغیر بتا و گاما در جمله سوم بسط تیلور بر دقت روش افزوده شد.

در حالت دو درجه همانطور که در شکل (۲-۴) آشکار است نتیجه‌ی روش نوین دارای برتری آشکاری

بر روش‌های پیشین است:



شکل (۲-۴): نمودار روش نوین در حالت دو درجه آزادی

نمودار روش پیشنهادی نشان می‌دهد که نتیجه، تنها پس از سه ثانیه تثبیت شد. موردی که در روش‌های قدیمی، به بیش از ده ثانیه زمان نیاز داشت. ضمن آنکه این تثبیت تنها پس از دو بار نوسان شکل گرفته است. این روش توانست خطای کلی سیستم را به مراتب، سه مرتبه بالاتر از روش‌های گذشته، کاهش دهد و نتیجه را بطور محسوس بهبود بخشد.

درجه آزادی به ده افزایش می‌یابد.

جدول (۱-۴): مقادیر اعمال شده در نمونه آزمایشی

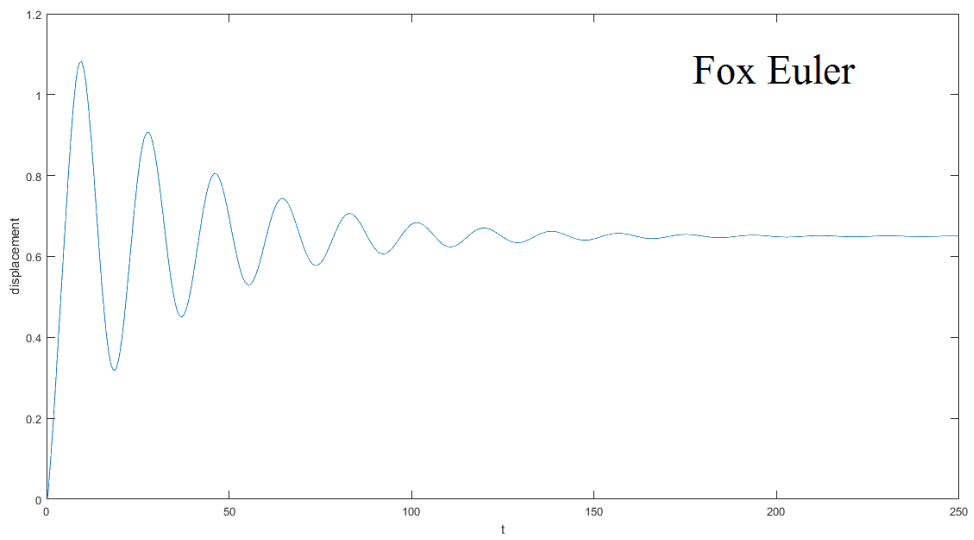
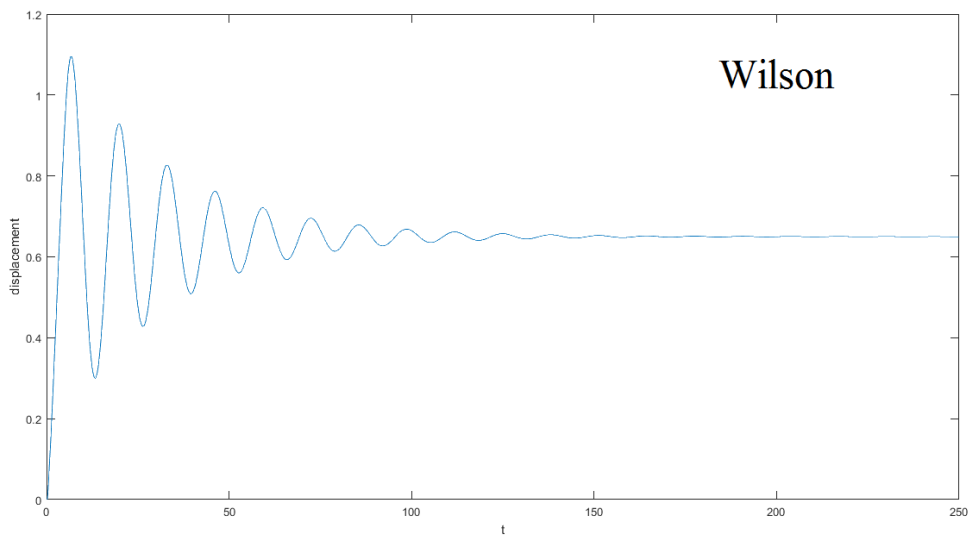
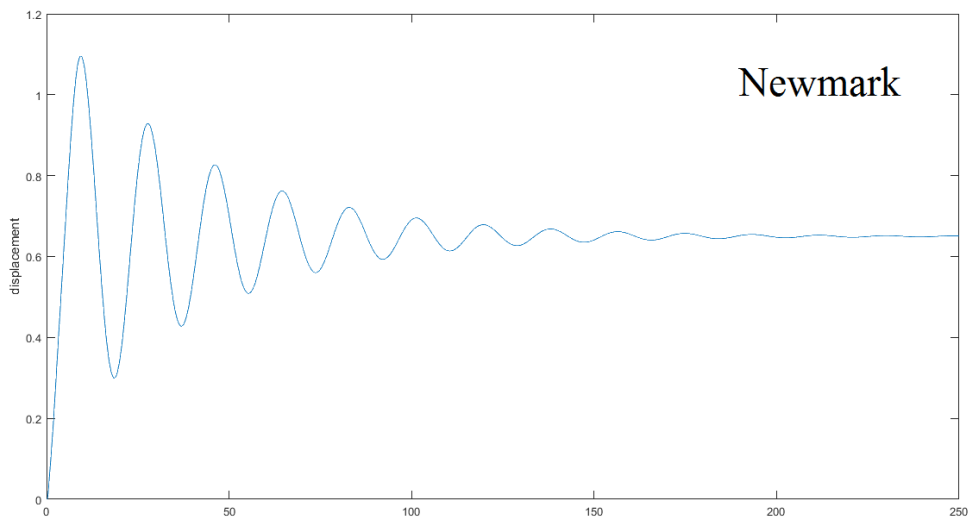
جرم	M(kg)	[1]
فنریت	K(N/m)	[20]
میرایی	C(N/m ²)	[5]
گشتاور	τ (N.m)	[0,0,0,0,0,0,0,0,0,1]

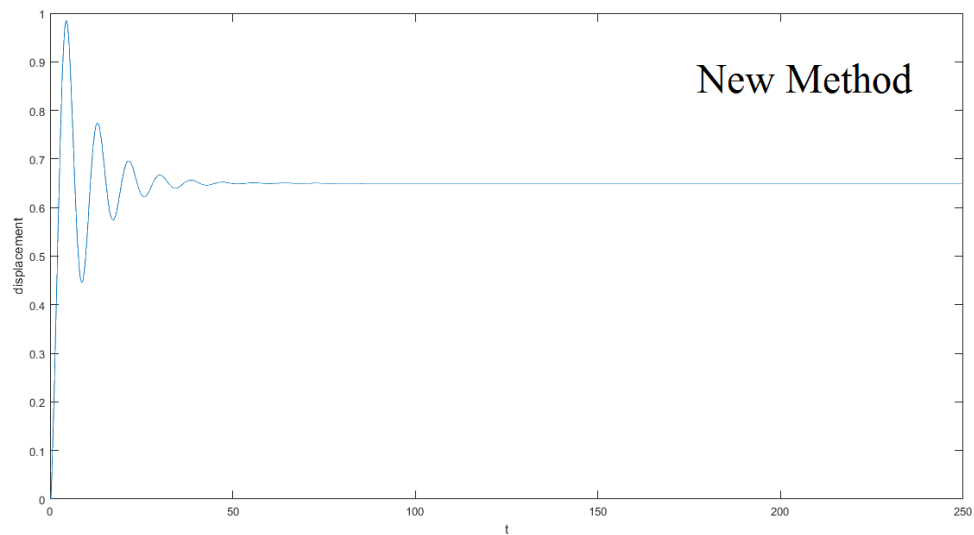
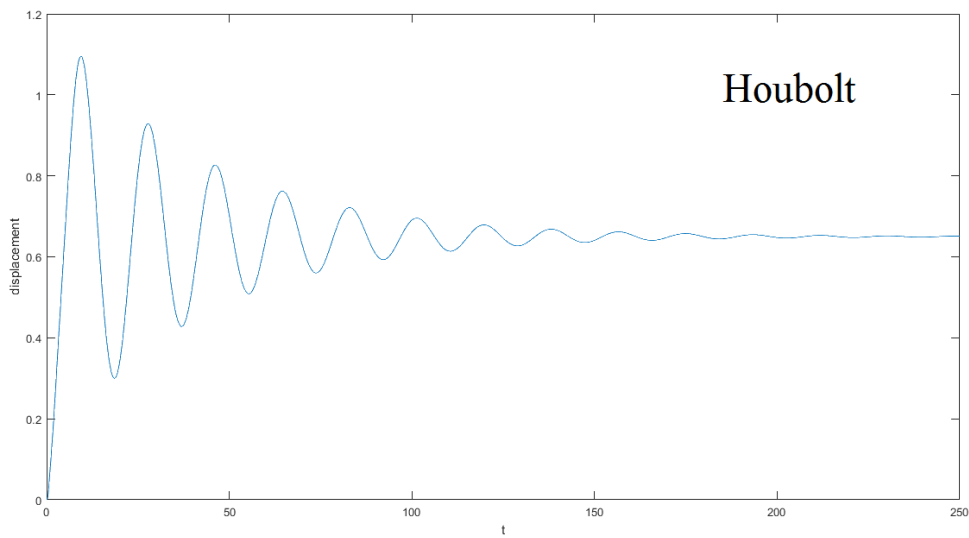
زمان انجام محاسبات در حالت ده درجه نسبت به دو درجه به شرح زیر است :

جدول (۴-۲): زمان انجام محاسبات و نسبت آنها در حالت دو و ده درجه آزادی

روش پیشنهادی	ویلسون تتا	هوبولت	نیومارک بتا	فاکس اوپلر	ثانیه
۲/۷۱	۲/۰۹	۲/۴۹	۱/۹۶	۲/۴۱	دو درجه
۳/۵۳	۲/۴۵	۲/۵۸	۲/۴۳	۲/۶۲	ده درجه
۱/۳۰	۱/۱۷	۱/۰۴	۱/۲۴	۱/۰۹	نسبت

بیشترین افزایش زمان انجام محاسبات به روش پیشنهادی برمی گردد ولی با نگاهی به نمودار روش‌ها می‌توان به این نتیجه رسید که زمان تثبیت به عبارتی زمانی که پس از طی آن ارتعاشات نوک تیر به حد میرایی تقریباً صفر می‌رسد، در روش پیشنهادی بطور میانگین یک چهارم روش‌های دیگر است که این موضوع زمان محاسبات افزایش یافته در این روش را توجیه می‌نماید. دامنه نوسانی روش‌های کلاسیک نیز حدود ۱/۱ بوده که در روش نوین به زیر یک رسیده است.





شکل (۴-۳) : نمودارهای حالت ده درجه آزادی

باتوجه به تمامی مطالب بیان شده روش پیشنهادی می تواند جایگزین شایسته ای برای روش های عددی گذشته باشد.

- [1] Kumar A. S., Sankar T. S.; *A new transfer matrix method for response analysis of large dynamic systems*, Pergamon Journals Ltd, Vol. 23, No. 4, pp. 545-552, 1986.
- [2] Krauss R. W.; *An Improved Technique for Modeling and Control of Flexible Structures*, PhD Thesis, Department of Mechanical Engineering, Georgia University, USA, 2006.
- [3] Krauss R. W.; *Computationally efficient modeling of flexible robots using the transfer matrix method*, Journal of Vibration and Control, Vol. 18, No. 5, pp. 596-608, 2011.
- [4] Krauss R., Okasha M.; *Discrete-Time Transfer Matrix Modeling of Flexible Robots under Feedback Control*, American Control Conf, Washington, DC, USA, June 17-19, 2013.
- [5] Horner G. C., Pilkey W. D.; *The Riccati Transfer Matrix Method*, Journal of Mechanical Design, Vol. 100, pp. 297-302, 1978.
- [6] He B., Rui X., Wang G.; *Riccati discrete time transfer matrix method for elastic beam undergoing large overall motion*, Springer Science, Vol. 18, No. 4, pp. 579-598, 2007.
- [7] Wang G., Rong B., Tao L., Rui X.; *Riccati Discrete Time Transfer Matrix Method for Dynamic Modeling and Simulation of an Underwater Towed System*, Journal of Applied Mechanics, Vol. 79, No. 4, 2012.
- [8] Zhai W.M, *Two simple fast integration methods for largescale dynamic problems in engineering*. Int. J. Numer. Methods Eng, Vol. 39, pp. 4199–4214, 1996.
- [9] Zhai W.M., Wang K.Y., Lin J.H., *Modelling and experiment of railway ballast vibration*. J. Sound Vib, Vol. 270, pp. 673–683, 2004.

[10] Zhou J., Zhou Y., A new simple method of implicit time integration for dynamic problems of engineering structures, *Acta Mech Sin*, Vol. 23, pp. 91–99, 2007.

[11] Rezaiee M., Sarafrazi R., A mixed and multi-step higher-order implicit time integration family, *Mechanical Engineering Science*, Vol. 224, pp. 2097- 2108, 2010.

[12] Vahid Alizadehyazdi, *Stability of Discrete Time Transfer Matrix Method (DT_TMM)*, 2016

[13] Jun Zhou , Youhe Zhou , A new simple method of implicit time integration for dynamic problems of engineering structures, 2007

ABSTRACT

In field of application of robots, the study of vibrations of the flexible arms used in these robots are important for their online control. The proposed flexible dynamic system for modeling includes a beam that is attached to an electric motor at its base. When the engine is turned on, the beam begins to rotate and vibration. Triggered by the sudden onset of motion. since nonlinear finite element methods and numerical methods require increasing computational volume and slowing the robot arm control process, this thesis introduces the system is simulated with a number of rigid links with the ability to rotate between the two links.

The hobolt , fox-euler , newmark-beta and wilson-theta methods are classical and traditional methods of numerical integration that are examined in each. In these four classical methods, different approximations have been used to linearize the velocity and acceleration components and other nonlinear expressions. It would be a better way to have accuracy despite the relative low computation. At the end a suggested method is presented.

Keywords: flexible robotic arm , transfer matrix , numerical integrate



Shahrood University of Technology
Faculty of Mechanic and Mechatronic
MSc Thesis in Mechatronic

**Improve the transfer matrix method to implement the
curve control of a flexible robotic arm**

By: Mahdi Gholampour

Supervisor:
Dr. Mahdi Bamdad

September 2018